

ALMA MATER STUDIORUM
UNIVERSITA' DI BOLOGNA

SCUOLA DI INGEGNERIA E ARCHITETTURA
Sede di Forlì

Corso di Laurea
in
INGEGNERIA AEROSPAZIALE
Classe L-9

Elaborato finale di Laurea
in
Disegno Tecnico Aerospaziale

FRENO PER ULM

Candidato

Marco Dolcetti

Relatore

Prof. Ing. Luca Piancastelli

Anno Accademico 2014/15 Sessione IIa

INDICE

	pag.
Introduzione	----- 2
Descrizione e montaggio dell'assieme	----- 3 - 10
Il fattore umano in frenata	----- 11 - 13
Potenza assorbita dal freno	----- 14 - 27
Analisi semplificata di temperatura	----- 28 - 34
Appendice A-scripts matlab®	----- 35 - 41
Lista simboli	----- 42
Indice delle figure	----- 43
Bibliografia	----- 44

Introduzione

La presente tesi propone un sistema frenante impiegabile nell'ambito di velivoli ULM .

Rivisitare il design di esistenti versioni consente una modesta riduzione del peso complessivo per la singola ruota e dell'ingombro assiale (*fig.8*) :tali parametri sono utili in future applicazioni ULM con carrello retrattile e nelle attuali installazioni con carrello fisso e fairings .

L'ipotesi di singola frenata in un tempo relativamente breve consente di adottare formule empiriche (*rif. 1*) che semplificano molto l'analisi di temperatura rispetto al caso in cui il freno lavori ripetutamente e per un periodo prolungato .

L'impianto frenante di un ULM è meno sollecitato rispetto al caso automobilistico non solo per la minore energia cinetica in gioco ma anche perché lavora in un ristretto intervallo di tempo e mai in modo continuativo .

L'uso di un ferodo in resina fenolica bagnata con fibre aramidiche(*fig. 3a*) combina un elevato coefficiente d'attrito ,buona resistenza al calore ad una relativamente bassa usura .

La letteratura sui freni è vastissima e conduce a specifiche branche dell'ingegneria come metallurgia-tribologia-fisica dei materiali-vibrazioni-fluidodinamica .

Impossibile conoscerla tutta .

L'impianto frenante è infatti sottoinsieme di un sistema dinamico assai più complesso e molteplici sono le potenziali patologie che lo interessano in esercizio come ad esempio fading rumore-vibrazioni,thermal cracking solo per citarne alcune .

Descrizione e montaggio dell'assieme

In *fig.1* la vista esplosa dell'assieme mentre in *fig.2-3* quella della singola ruota assemblata.

In *tab.1* la distinta dei costituenti l'assieme .

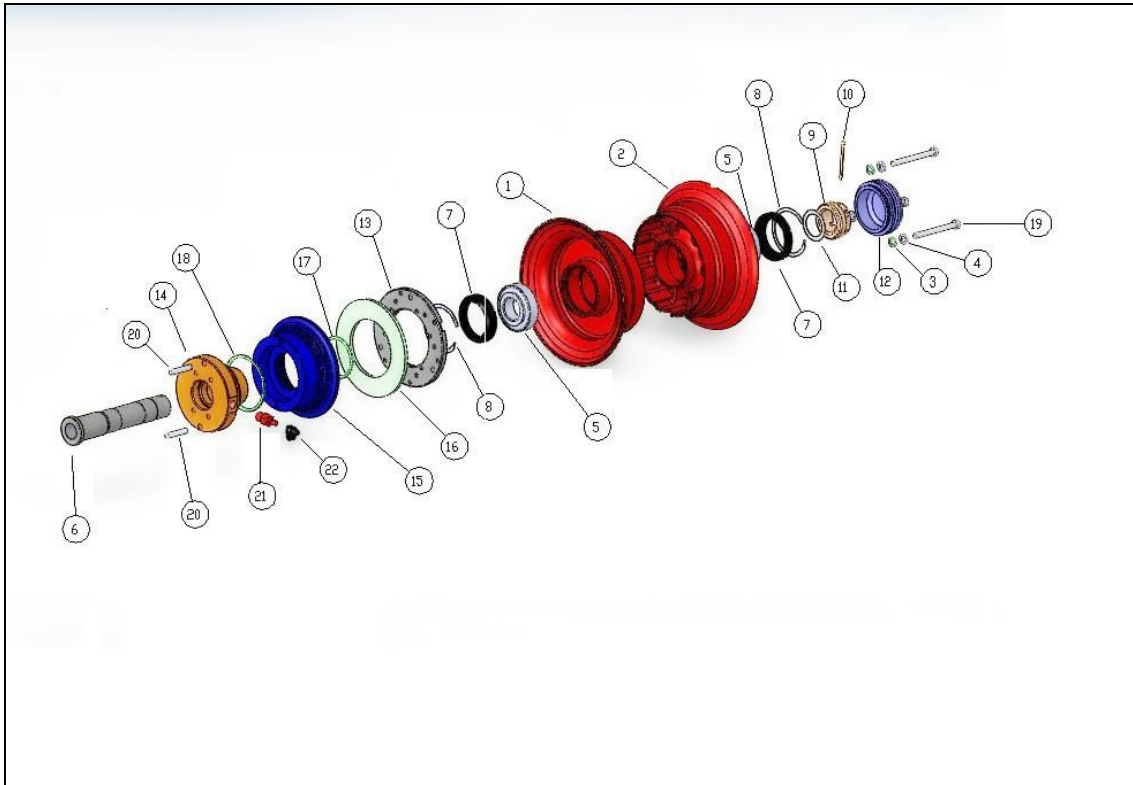


fig.1

Item N°.	Code	Part Number	Description	Material	Note	Q.ty
1	FDA-0605	F1-06.05-0	INNER WHEEL HALF (DISC Ø162)	ALUMINIUM ALLOY		1
2	FDA-0607B	F1-06.14-0	OUTER WHEEL HALF (MUSTANG DES.)	ALUMALLOY		1
3	COM	F1-01.10-0	FLAT WASHER 6x0,6 DIN 433/UNI 6592 TC	INOX		3
4	COM	F1-06.31-0	LOCK WASHR 16 UNI17518 / DIN 1278	INOX		3
5	COM	F1-06.09-0	TAPERED ROLLER BEARING 30x35,12/R SKF - ISO 3551977			2
6	FDA-0603	F1-06.03-0	AXLE	INOX		1
7	COM	F1-06.10-0	RETAINER GREASE SEAL GHS 157207			2
8	COM	F1-06.11-0	CIRCLIP Ø52 (VHM-52)	INOX		2
9	FDA-0604	F1-06.04-0	MAIN NUT	ALUMINIUM ALLOY		1
10	COM	F1-06.12-0	COTTER PIN - ISO 1234	INOX		1
11	COM	F1-06.18-0	SHIM WASHER 25x35x0,5 - DIN 988 P3	INOX		1
12	FDA-0609	F1-06.21-0	HUB CAP	PVC / NYLON		1
13	FDA-0613	F1-06.26-0	FRICTION DISC ABS	IRON CAST		1
14	FDA-0610	F1-06.23-0	SUPPORT AXLE ABS	ALUMINIUM ALLOY		1
15	FDA-0611	F1-06.24-0	MAIN BODY ABS	ALUMINIUM ALLOY		1
16	FDA-0612	F1-06.25-0	FRICTION RING ABS	CR2M		1
17	COM	F1-06.27-0	O-RING PK 2-223 (PARKER) UNI EN ISO 3601	NITRILE		1
18	COM	F1-06.28-0	O-RING PK 2-228 (PARKER) UNI EN ISO 3601	NITRILE		1
19	COM	F1-06.30-0	ALLEN SCREW M6x30 ISO 4762/DIN 912	INOX		3
20	COM	F1-06.29-0	SPINE GUIDE Ø6X30 - ISO 2338	INOX		2
21	COM	F1-0152-0	FITTING BLEEDER 1/8" NPT			1
22	COM	F1-0153-0	FITTING CAP	NITRILE		1

tab. 1

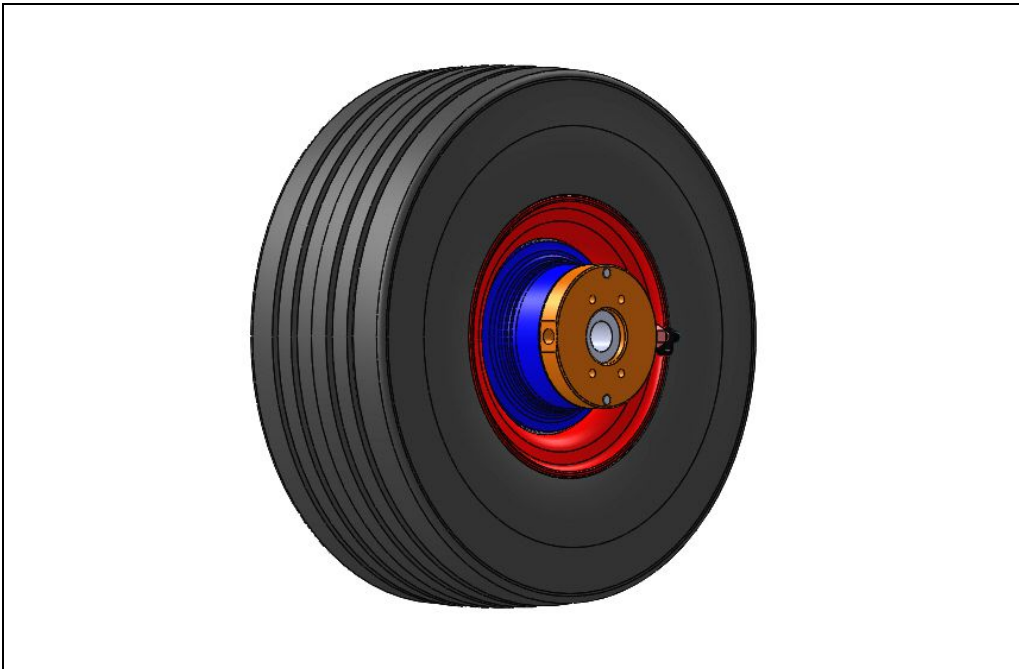


fig.2



fig.3

I componenti **1- 2- 6- 9 -12 -13 -14 –15-16** sono il risultato di committenza a terzi e vanno verificati per le specifiche assegnate .

I restanti componenti sono classificati come commerciali ed essendo standard non necessitano di particolari verifiche .

Il funzionamento dell'assieme si evince dalla sezione di *fig. 9* :

il fluido in pressione (in ingresso dalla valvola **21**) spinge la pinza **15** (a cui è incollato l'anello-ferodo **16**) a battuta sul disco **13** solidale al semicerchio interno **1**.

L'area della superficie anulare della pinza **15** su cui agisce il fluido in pressione è circa 16.5 cm² mentre quella dell'anello-ferodo è 60 cm².

La fuoriuscita del fluido è impedita dalle guarnizioni **17** e **18** alloggiare in apposite scanalature ricavate nel corpo **14** e nella pinza **15** rispettivamente.

La pinza flottante **15** è guidata in traslazione tramite i perni **20** (*fig. 1*) solidali al corpo **14**.

Una novità rispetto le precedenti installazioni è l'anello-ferodo costituito da resina fenolica impregnata con tessuto in fibra aramidica (*fig. 3a*) e di cui in *tab. 2* si riportano le proprietà fisico-meccaniche rese note dal costruttore.

Dynamic Friction Coefficient	0.45 ±0.05 μ
Wear Rate	50± 10 mm³/Kwh
T° Fading	390°C
Hardness	80±3 Shore-D
Specific Gravity	1.2± 0.05 gr/cm³
Thermal Conductivity	At 100°C 0.25 W/mK
Linear Thermal Expansion Coef.	22x 10⁻⁵K⁻¹
Tensile Strength	70 N/mm²
Compressive Strength	306 N/mm²
Poisson Coefficient:	0.27
Young Modulus	7260 N/mm²
T° Max. Continuous Operation	360°C
T° Max. Intermittent Operation	390°C
Recommended Mating Surface	Perlitic cast irons HB150-200

tab.2



fig.3a

Ulteriori novità rispetto alla precedente versione sono il design del semicerchio interno **1** (*fig. 4-5*) ed un nuovo design per il disco in ghisa (*fig. 6-7*).

L'assemblaggio dell'assieme non presenta particolari difficoltà .

Il primo step consiste nel verificare l'accoppiamento dei due semicerchi e che devono potersi unire manualmente con lieve interferenza (*fig. 10*) .

Il secondo passo consiste nell'inserire l'anello esterno dei cuscinetti nelle sedi dei rispettivi semicerchi (*fig. 11*) .

L'accoppiamento è per interferenza (Φ 52 N7) : è sufficiente insufflare aria calda ($\sim 150-160$ ° C per pochi minuti) attorno la sede prima di ribadire l'anello esterno del cuscinetto .

Gli anelli interni del cuscinetto sono ingrassati ed alloggiati .

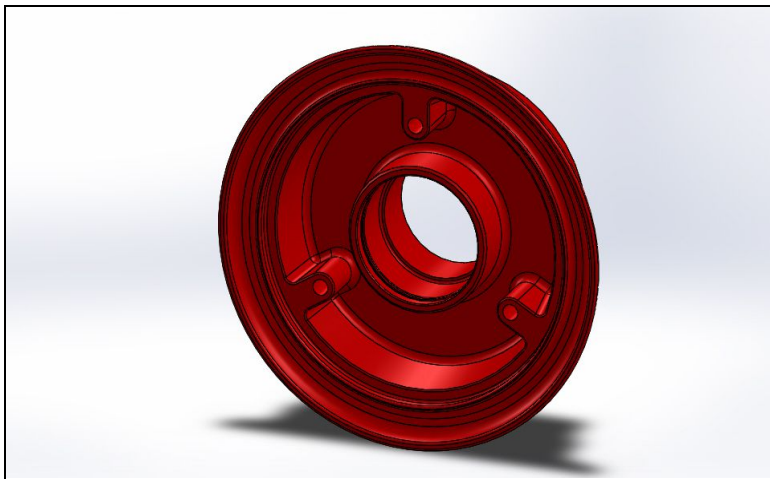


fig. 4 : precedente versione

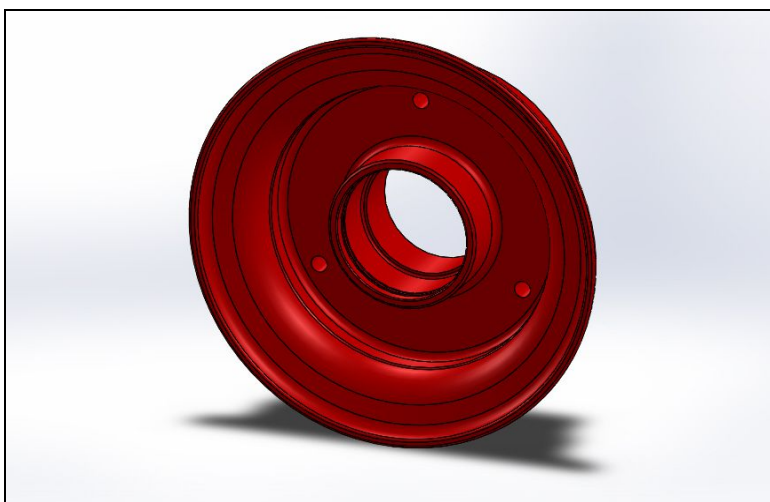


fig. 5 nuova versione

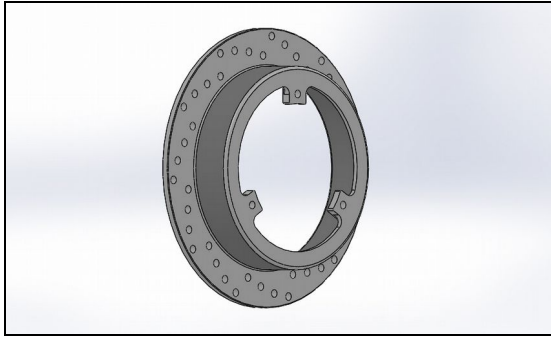


fig. 6 precedente versione

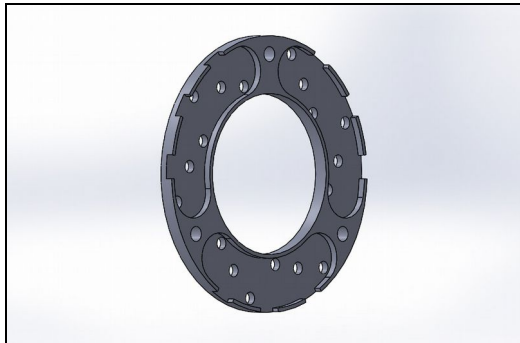
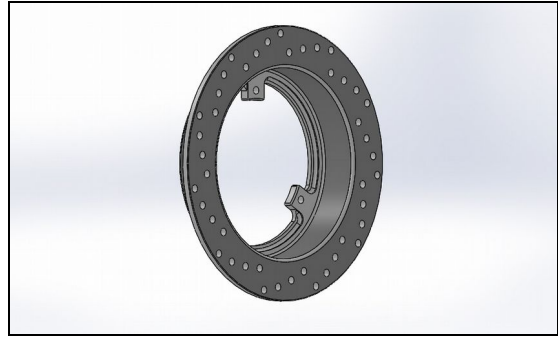


fig. 7 nuova versione

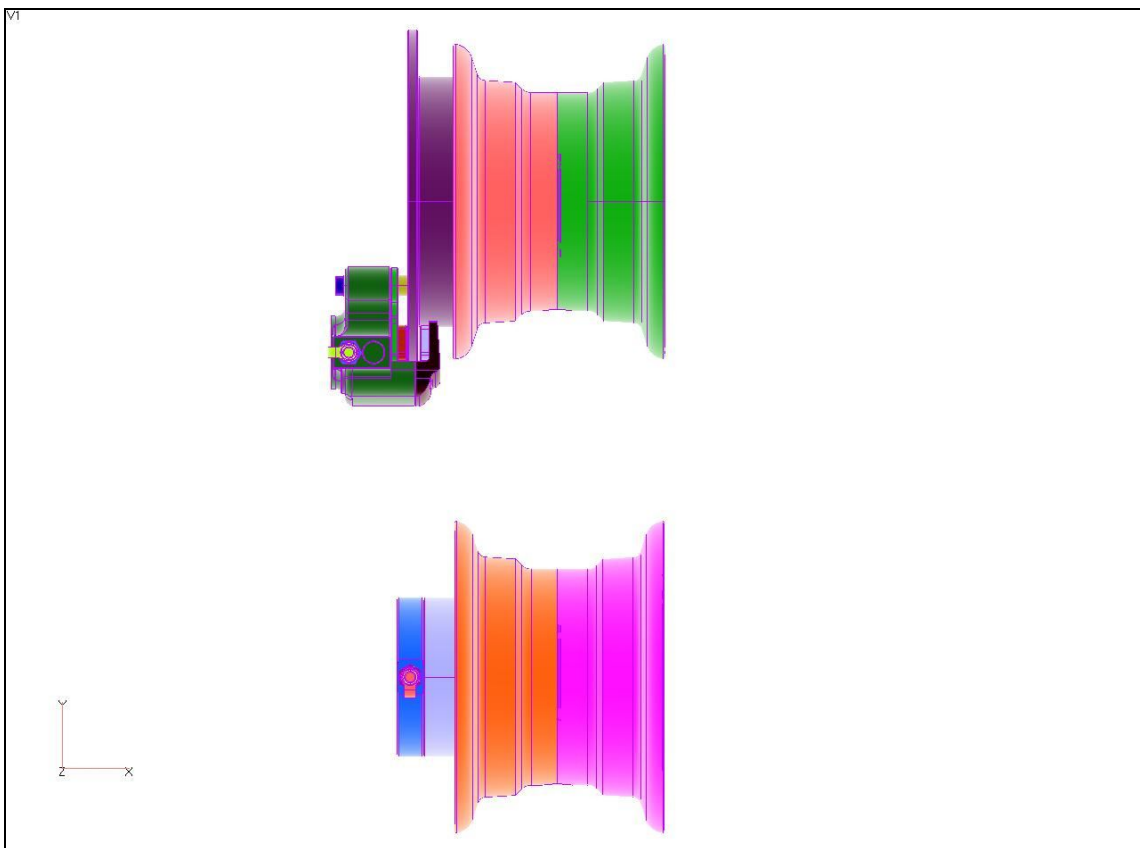
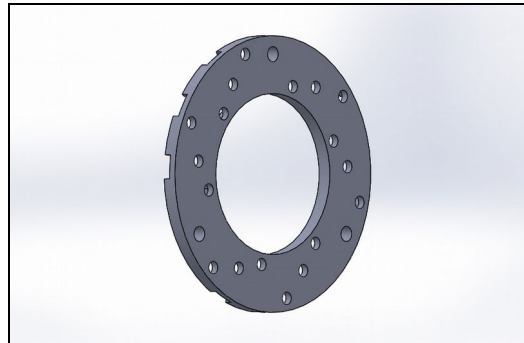


fig.8

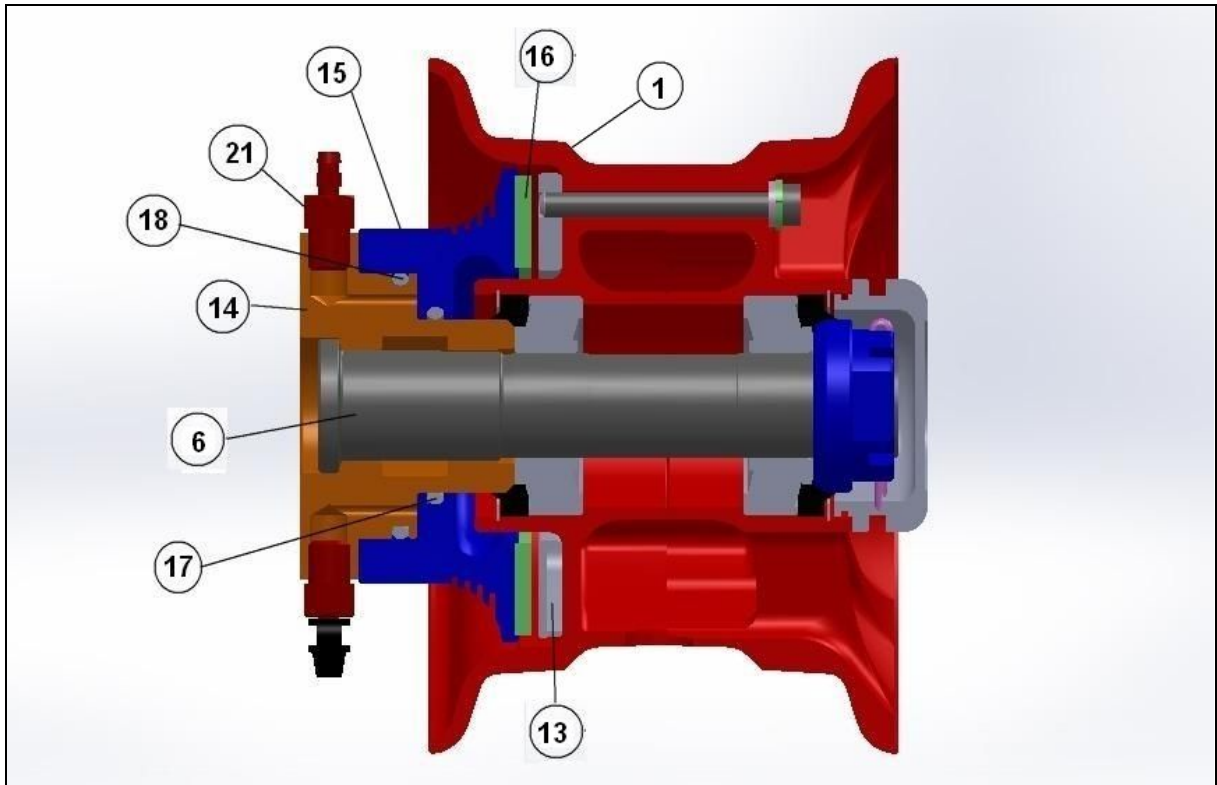


fig. 9



fig. 10



fig. 11



fig.12

Si alloggiano paragraasso ed anello di tenuta (*fig. 12*) .

La camera d'aria è alloggiata all'interno della copertura e con la valvola allineata al marker presente sul fianco dello pneumatico (*fig.13*) .

Si accoppiano i semicerchi ed il disco in ghisa (*fig.14*) alloggiando manualmente lo pneumatico .

I semicerchi vengono serrati con chiave dinamometrica e coppia di 14/18 Nm .

Si appone un ulteriore marker con pennarello indelebile sul semicerchio esterno al fine di controllare visivamente eventuali slittamenti relativi tra copertura e cerchio .

L' accorgimento serve a prevenire il tranciamento della valvola .

L'anello-ferodo è incollato alla pinza con adesivo termoindurente in forno a 150 –160 ° C per 20 minuti (*fig. 16*) .

A raffreddamento avvenuto si installa la guarnizione **17** .



fig. 13

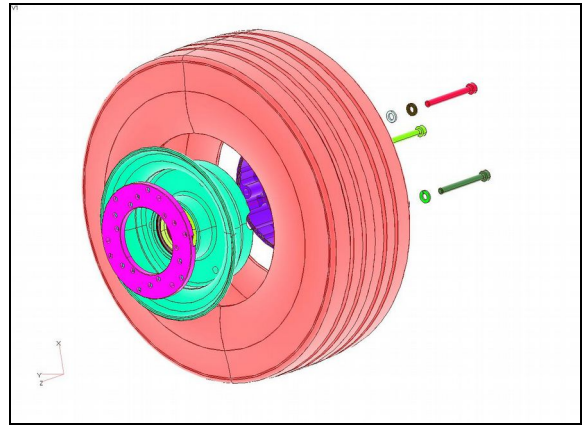


fig.14

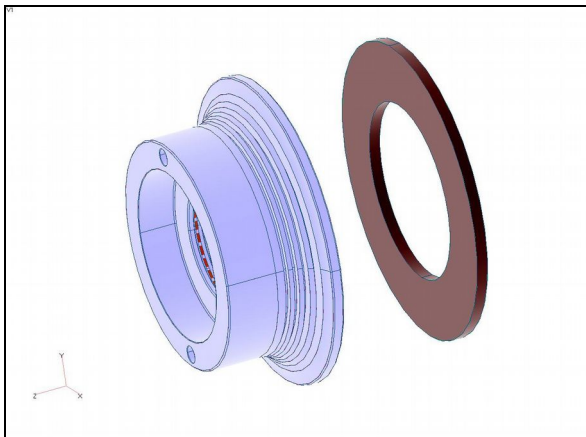


fig.15

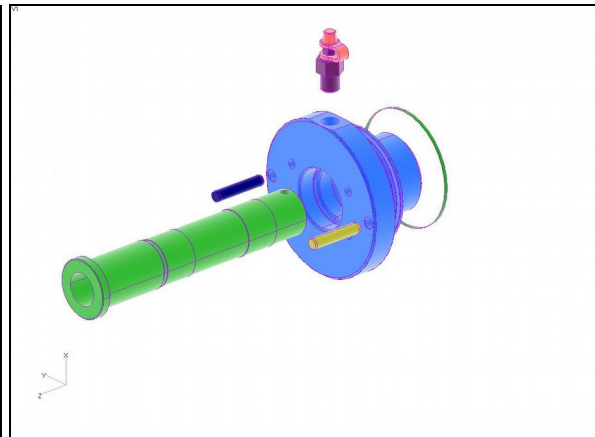


fig. 16

L'assale ed i perni di guida della pinza sono accoppiati con interferenza al corpo **14** .

Si installano le valvole **21** (NPT 1/8 ") .

Il foro presente nella parte terminale dell'assale deve essere perpendicolare al suolo per consentire il corretto montaggio della copiglia antisvitamento (fig.16) .

Il fattore umano in frenata

La forza massima esercitata dalla gamba dx in frenata è **445 N** nel 5% (*female*) ed **885 N** (*male*) con velocità nel range **1 ms^{-1}** (piloti esperti) e **0.15 ms^{-1}** .

Per corse di **100 mm** il tempo impiegato per andare fondo corsa si attesta in **100 – 200 milli s**.

Si è inoltre osservato come una leva-pedale troppo “morbida” non solo sia percepita dal pilota con “senso d’insicurezza” ma pure aumenti lo spazio di frenata.

In genere per sistemi idraulici non amplificati il dimensionamento dell’impianto deve garantire a fronte di una forza pedale applicata di **445 – 489 N** una decelerazione di **$1 \text{ g} \sim 9.8 \text{ ms}^{-2}$** con il veicolo in condizioni di **peso massimo consentito** *Gross Vehicle Weigh GVW*.

La corsa della leva- pedale non deve mai superare i **150 mm**.

I piloti stimano come molto buono un rapporto **forza applicata/ decelerazione** di **267-445 (N/g)** e come buono **445 -668 (N/g)**.

Si assume che la decelerazione assuma nel tempo andamento come in *fig. 16a*.

Si definisce **tempo di reazione t_r** (rif.1 pg. 11-17) l’intervallo che intercorre tra l’istante in cui viene emesso un segnale/stimolo (l’ostacolo entra nel campo visivo periferico del pilota) e l’istante in cui il pilota arriva a “toccare” il dispositivo preposto (es. pedaliera freno).

Le evidenze sperimentali dimostrano come eventi attesi abbiano tempi di risposta inferiori rispetto ad eventi non attesi.

Il **tempo di reazione** è quindi l’intervallo di tempo misurato dal momento in cui l’ostacolo entra nel campo visivo periferico del pilota (*fig. 16b*) al momento in cui il pilota “tocca” la “leva”.

Sperimentalmente è compreso tra **0.6** e **1.5** secondi.

In presenza di ostacoli l’attenzione del pilota passa da una modalità *distributiva* ad una *concentrativa*.

Dall’istante in cui l’ostacolo entra nel campo visivo periferico a quello in cui tale oggetto viene messo a fuoco dall’occhio umano trascorrono statisticamente **$t_{IVMF} = 0.32 – 0.55 \text{ s}$** .

Segue poi un **tempo di azione** t_{AZ} impiegato dagli arti per raggiungere la leva .

Sperimentalmente si attesta in $t_{AZ} = 0.22 - 0.58$ s .

Il **tempo di azionamento o di switch off** t_{SO} è quello effettivo necessario ad azionare la leva e dipende dalla natura del dispositivo stesso : tipicamente é compreso tra **0.15 e 0.21** secondi .

Il **tempo di risposta del sistema-circuito idraulico** t_a è l'intervallo che intercorre tra la “fine” dell'azionamento e l'istante in cui comincia a manifestarsi la coppia frenante dovuta all'accostamento del ferodo al disco : tipicamente **0.03-0.06** secondi .

Il **tempo di “build up”** t_b è l'intervallo di tempo impiegato dal sistema-freno per raggiungere la decelerazione di riferimento (tratto 1-2 *fig. 16a*) : **0.14 - 0.18** secondi .

Lo spazio percorso in una generica frenata in 0-3 è somma degli spazi percorsi nei tratti 0-1 , 1-2 e 2-3 :

$$\boxed{S_1 = V_1 (t_r + t_a)} \quad \text{tratto 0-1 .}$$

$$\boxed{V(t) = V_1 - \int a(t) dt = V_1 - a_{\max} \left(\frac{t^2}{2t_b} \right)} \quad \longrightarrow \quad \boxed{S_2 = \int_0^{t_b} V(t) dt = V_1 t_b - a_{\max} \left(\frac{t_b^2}{6} \right)} \quad \text{tratto(1-2)}$$

$$\left[\begin{array}{l} V_2 = V_1 - a_{\max} \frac{t_b}{2} \\ V(t) = V_2 - a_{\max} \int dt = V_2 - a_{\max} t \end{array} \right] \longrightarrow \boxed{S_3 = \int_0^{t_c} V(t) dt = V_2 t_c - a_{\max} \frac{t_c^2}{2} = \frac{V_2^2}{a_{\max}} - \frac{V_2^2}{2a_{\max}} = \frac{V_2^2}{2a_{\max}}} \quad \text{tratto(2-3)}$$

$$\left[t_c = \frac{V_2}{a_{\max}} = \frac{V_1}{a_{\max}} - \frac{t_b}{2} \right]$$

$$S = S_1 + S_2 + S_3 = V_1 (t_r + t_a + \frac{t_b}{2}) + \frac{V_1^2}{2a_{\max}} \quad \longrightarrow \quad S \approx \frac{V_1^2}{2a_{\max}}$$

$$t_r = t_{IVMF} + t_{AZ} + t_{SO} \approx 0.7/1.5 \text{ s}$$

$$t_a = 0.03/0.06 \text{ s}$$

$$t_b = 0.14/0.18 \text{ s}$$

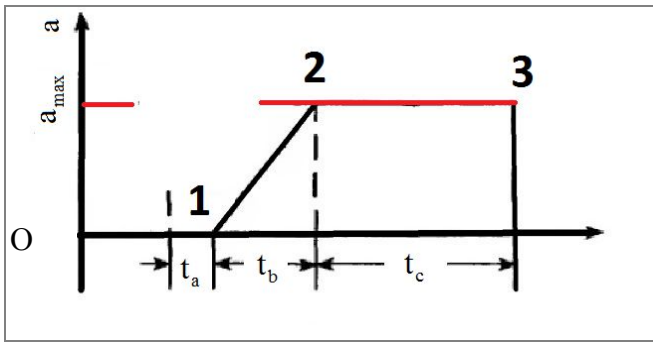


fig. 16a

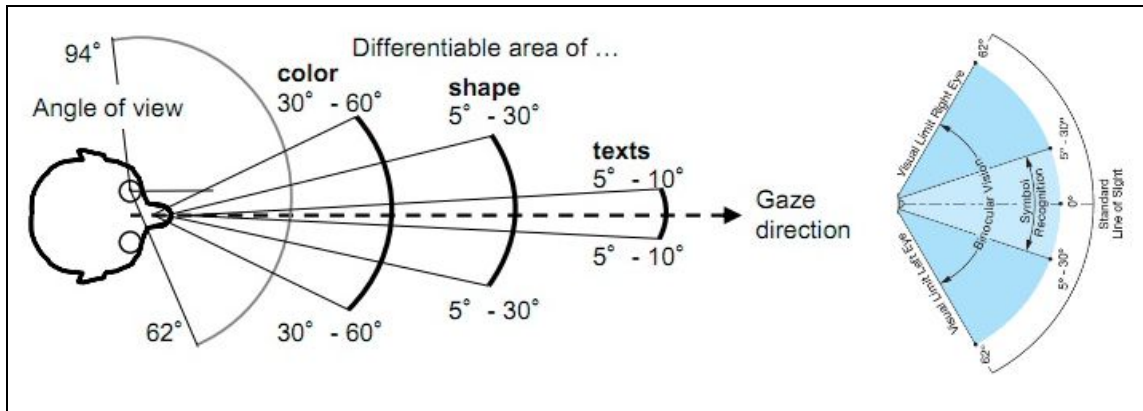


fig. 16b

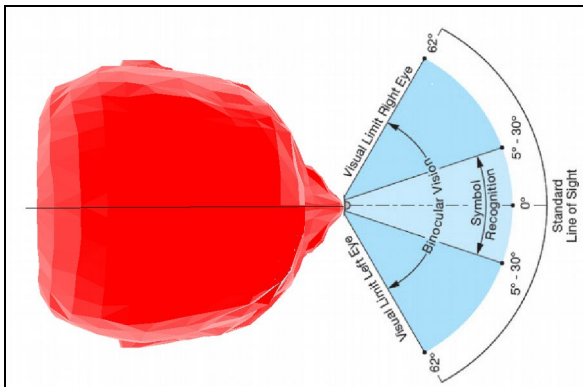
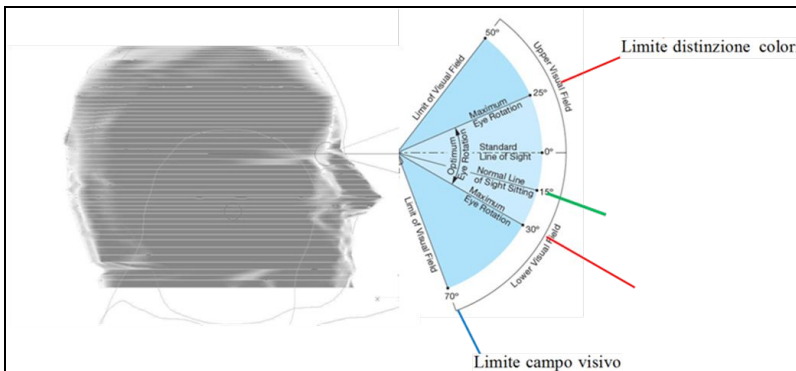


fig. 16b



Potenza assorbita dal freno

Per fissare le idee si consideri un tipico velivolo della classe ULM (*fig. 17*).

Il velivolo con tutte le ruote al suolo ha una velocità di 20(m/s) ed energia cinetica

$$E_c = \frac{1}{2}(mv^2 + I\omega^2) \quad [1]$$

L'ipotesi di puro rotolamento($v = \omega r$) consente di introdurre **k** detto fattore correttivo per le masse

rotanti :

$$E_c(t) = \frac{1}{2}mv(t)^2k \quad [2]$$

con

$$k = 1 + \frac{I}{mr^2}$$

r raggio delle ruote con pneumatico ($r \approx 20 \text{ cm} = 0.2 \text{ m}$)

I inerzia rotazionale complessiva delle tre ruote attorno il loro asse .

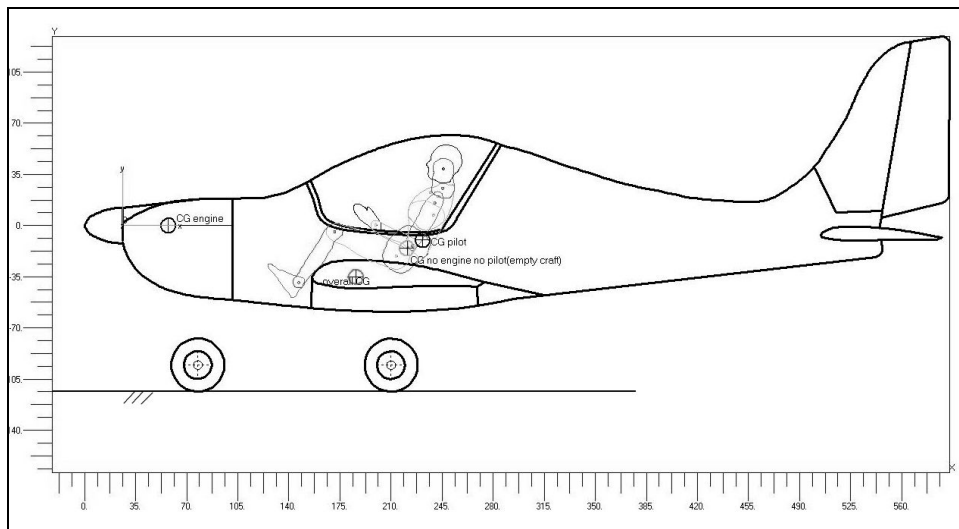


fig. 17

Valori tipici di **k** sono (*rif.1 pg.112*) :

1.05 – 1.5 per autoveicoli passeggeri

1.03 – 1.6 per automezzi pesanti .

Nel caso di *fig. 17* $k \approx 1.004 – 1.005$.

Si assume un moto uniformemente ritardato con decelerazione **a** :

$$\mathbf{v}(t) = \mathbf{v}_1 - \mathbf{a}t$$

Derivando [2] rispetto al tempo :

$$P_w(t) = \frac{d}{dt} E_c(t) = k m a v(t) = k m a (v_1 - a t) \quad [3]$$

La potenza assorbita dal freno è lineare decrescente nel tempo con valore massimo all'istante iniziale $t = 0$:

$$P_{w_{max}} = P_w(0) = k m a v_1 \quad [4]$$

Data la linearità si trova che il valore medio della potenza assorbita dal freno è:

$$P_{w_{med}} = \frac{1}{2} k m a v_1 \quad [5]$$

In realtà la potenza assorbita dal freno è leggermente inferiore :

si definisce s *coefficiente di slittamento* del pneumatico in frenata (*rif.5 pg. 91*) :

$$s = \frac{v - v_{eff}}{v} = 1 - \frac{r_{eff} \omega}{v}$$

$|s| = 1$ puro strisciamento - rotore bloccato ed il freno non assorbe potenza

$s = 0$ puro rotolamento

Detti r_{eff} il raggio effettivo di rotolamento ed r_{stat} il raggio di schiacciamento statico della ruota osservando la *fig.18a* :

$$v_{eff} = r_{eff} \omega = r_{eff} \frac{\phi}{t} = \frac{d}{t} \rightarrow r_{eff} = \frac{d}{\phi}$$

$$d = r \sin(\phi) \quad \Rightarrow \quad r_{eff} = r \frac{\sin(\phi)}{\phi}$$

$$r \cos(\phi) = r_{stat} \rightarrow \phi = \cos^{-1} \left(\frac{r_{stat}}{r} \right)$$

si ottiene

$$r_{eff} = r_{eff}(r, r_{stat}) \quad \text{essendo} \quad r_{stat} < r_{eff} < r$$

$$r_{stat} = r - \frac{F_z}{k_{TIRE}}$$

La forza verticale F_z non è costante in frenata (fig. 21 c/d) : anche r_{stat} r_{eff} ed s non lo sono .

Il coefficiente s è influenzato da :

- natura del polimero costituente le coperture
- tipo di copertura
- pressione di gonfiaggio
- natura e stato della superficie - asfalto
- temperatura d'esercizio
- carico verticale applicato alla ruota

Nel caso reale generico é : $0 < s \leq 1$ e le [4] [5] si scrivono :

$$P_{w_{max}} = P_w(0) = (1 - s)k_m a v_1 \quad [6]$$

$$P_{w_{net}} = \frac{1}{2} (1 - s)k_m a v_1 \quad [7]$$

Per la classe dei velivoli ulm le norme (rif. 7) impongono $a \geq 10 \text{ (ft /s}^2\text{)} = 3.05 \text{ (m/s}^2\text{)}$.

Le esperienze dimostrano che un veicolo su asfalto asciutto con massimo momento frenante e pneumatici in aderenza ha questi che lavorano con slittamento massimo s del 12% : la velocità periferica del pneumatico è l' 88% di quella traslazionale dell'asse della ruota ; l' 88% dell'energia cinetica è assorbita dai freni ed il restante 12% dallo pneumatico .

In genere s si attesta a valori inferiori **0.12** .

La frazione di energia dissipata dallo pneumatico è nota come resistenza al rotolamento o *roll resistance* ed è dovuta sia allo strisciamento relativo copertone-asfalto sia all'isteresi elastica del polimero costituente le coperture : in condizioni stazionarie tale termine prevale sul primo .

La perdita isteretica è influenzata dalla temperatura e diminuisce all'aumentare di questa .

L'aumento di temperatura del pneumatico causa un sensibile incremento di pressione che riduce ulteriormente il *rolling loss* .

Per autoveicoli passeggeri rif.10 pg. 3-4 si assume che la resistenza al rotolamento scenda ad un terzo del valore iniziale dopo 20'-30' .

La resistenza di rotolamento è determinata sperimentalmente tramite una misura di forza con trasduttore .

In rif.8 il problema della determinazione di f è affrontato in modo completo .

In *rif.9* è descritto il principio di funzionamento di alcune tipologie di trasduttori di forza .

In *rif.4 pg.17* : $f = f(v)$ per veicoli passeggeri e per veicoli pesanti (*fig.18*)

$$f = 0.0136 + 0.40 \cdot 10^{-7} v^2 \quad \text{radial - passengers}$$

$$f = 0.006 + 0.23 \cdot 10^{-6} v^2 \quad \text{radial - truck}$$

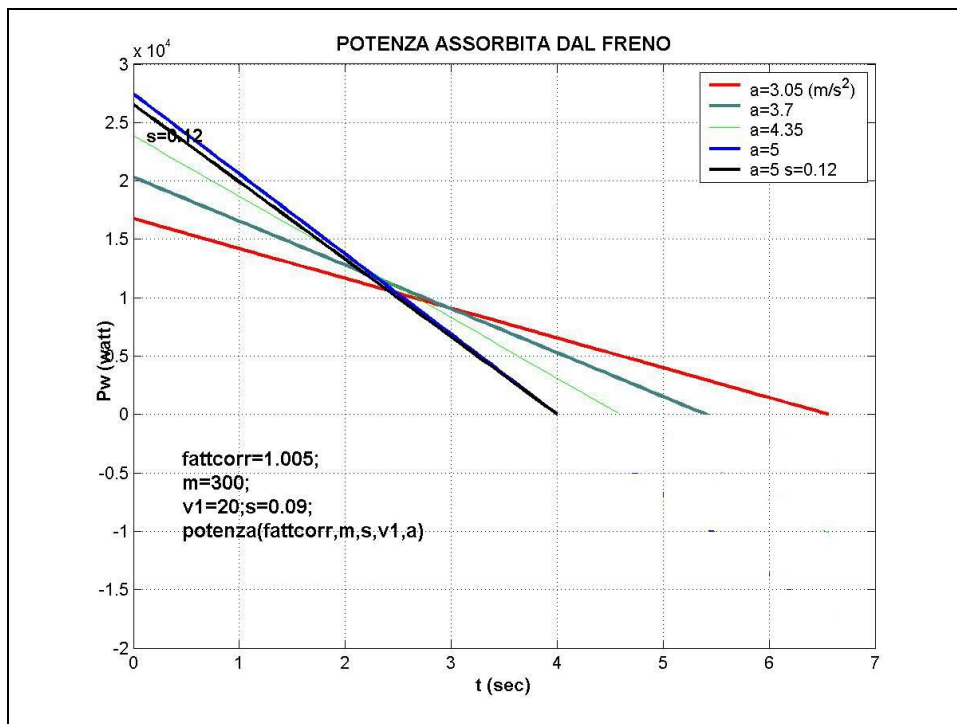


fig. 17a

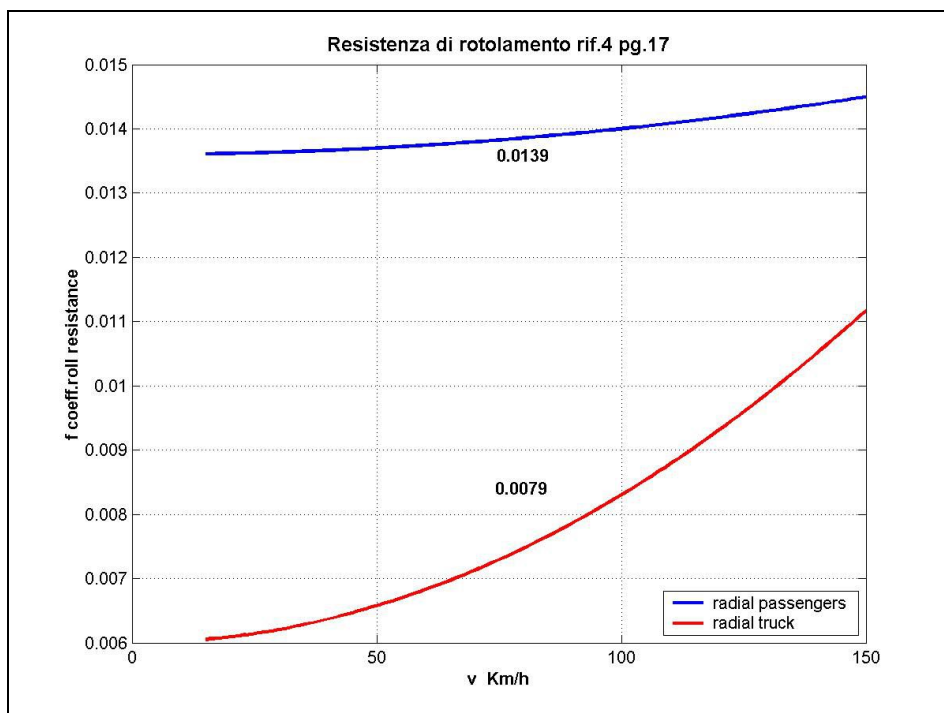


fig.18 (rif. 4)

Si assume che la resistenza al rotolamento sia legata al carico verticale ed alla pressione di gonfiaggio dalla relazione (rif.8 pg. 47-58) :

$$F_R = F_R(F_Z, \frac{1}{p})$$

$$F_R = F_{R0} + k_F (F_Z - F_{Z0}) + k_p \left(\frac{1}{p} - \frac{1}{p_0} \right) \quad [7a]$$

Più in generale si preferisce porre

$$F_R = F_{R0} \left(\frac{F_Z}{F_{Z0}} \right) \left[c_p \frac{p}{p_0} + c_T \right]$$

$$c_p + c_T = 1 \quad [7b]$$

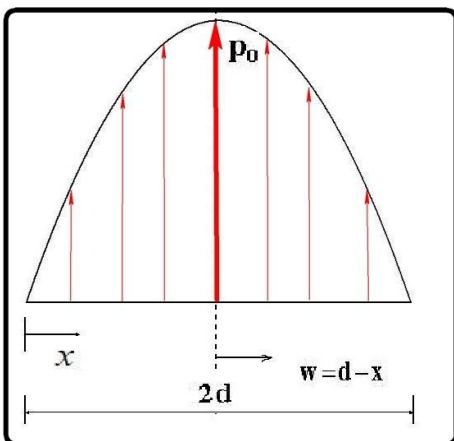
segue

$$F_R = F_{R0} \left(\frac{F_Z}{F_{Z0}} \right) \left[c_p \left(\frac{p}{p_0} - 1 \right) + 1 \right] \quad [7c]$$

relazione che consente una stima della resistenza al rotolamento prossima a quella effettiva .

La [7c] diversamente da [7a] richiede di determinare un solo parametro c_p noto come coefficiente di pressione e che in genere è compreso in **[0.4 , 0.6]** .

Nella zona di contatto copertura-asfalto la reazione verticale ha , in condizioni statiche ,andamento parabolico simmetrico dato da [10] (fig.19) ma in esercizio si sposta in direzione del moto (fig.20)



$$p = p_0 \left[1 - \frac{(d-x)^2}{d^2} \right] \quad [10]$$

fig.19

Detta b la larghezza del copertone, l'equilibrio in direzione verticale risulta

$$F_z = \int_{-d}^d 2bp(w)dw = 2bp_0 \int_{-d}^d \left(1 - \frac{w^2}{d^2}\right) dw$$

$$= \frac{8}{3}bdp_0 \quad \Rightarrow \quad p_0 = \frac{3F_z}{8bd}$$

Con [10] troviamo quindi

$$p(x) = \frac{3F_z}{8bd} \left[1 - \frac{(d-x)^2}{d^2}\right] = \frac{3F_z}{8b^3d} [x(2d-x)]$$

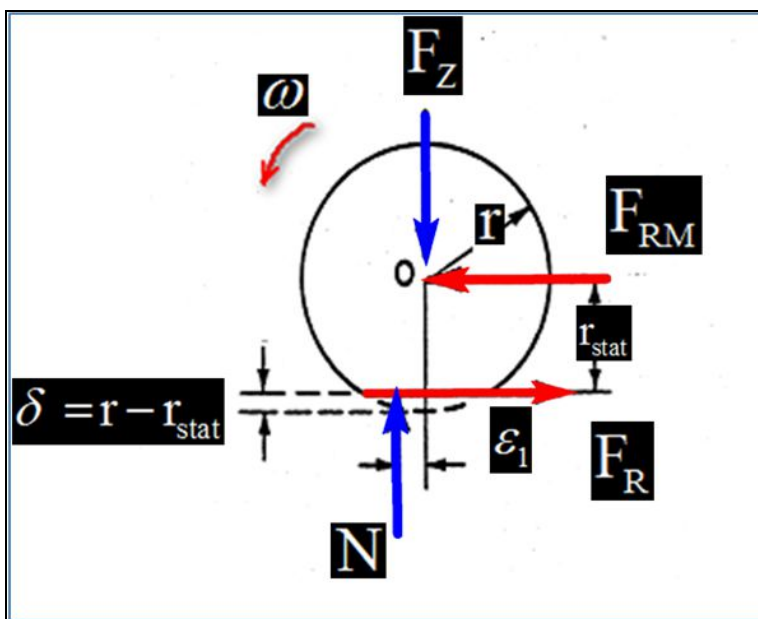


fig.20

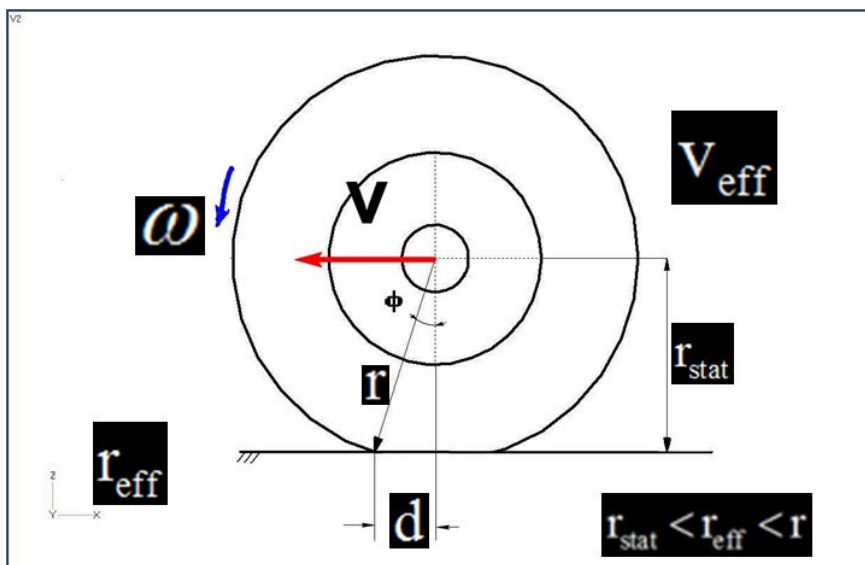


fig. 18a



fig.18b

Nel caso di fig. 18b (ruote posteriori) per fissare le idee poniamo

$$2d \approx 56 \text{ mm}, r = 200 \text{ mm}, r_{\text{stat}} = 190 \text{ mm} \rightarrow \phi \approx 20.2^\circ \approx 0.317 \text{ rad} \rightarrow r_{\text{eff}} \approx 196 \text{ mm}$$

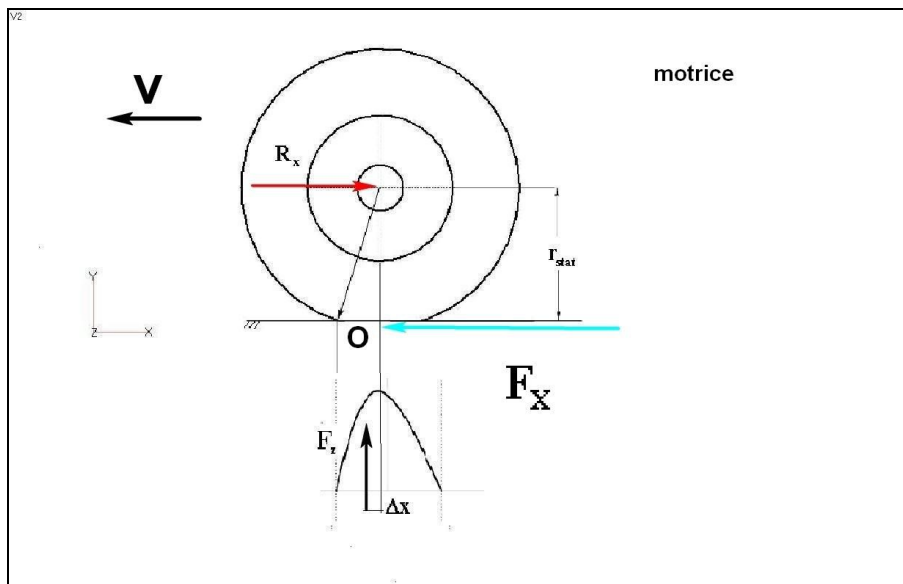


fig.19

L'equilibrio di momento con polo O (fig.19) è :

$$F_z \Delta x = R_x r_{\text{stat}} \quad [8]$$

segue

$$R_x = F_z \frac{\Delta x}{r_{\text{stat}}} = F_z f \quad [9]$$

In genere $0.01 \leq f \leq 0.04$; $f = 0.015$ è un valore tipico per automobili con copertoni radiali .

Sperimentalmente si misura R_x (fig.19b-c-d tab.3)

% di roll resistance	128 -152 Km/h
90 %- 95 %	Isteresi interna
2% - 10 %	Attrito radente pneumatico-asfalto
1.5 % - 3.5 %	Resistenza aerodinamica

tab.3 (rif. 4 pg.9-11)

Occorre tener presente che la resistenza al rotolamento valutata con una prova di banco(Lab-cylindrical drum) è maggiore(fig.19b) di quella effettiva in esercizio(highway-flat roll) : a parità di carico sostenuto la maggiore deformazione induce,nel caso “Lab”, maggiore stress nel pneumatico(fig.19c-d) .

Esistono relazioni che legano la *roll resistance* misurata con rullo cilindrico a quella effettiva in esercizio (*highway*) fig.19b-c-d .

Per il calcolo di F_z si consideri un sistema piano di forze come in fig.21 .

Le reazioni verticali si trovano con l’equilibrio del momento presi O' ed O come poli:

$$F_{Zf}(l_r + l_f) + F_{aer} h_{aer} - m \ddot{x} h - m g l_r = 0 \Rightarrow F_{Zf} = \frac{m(g l_r + \ddot{x} h) - F_{aer} h_{aer}}{(l_r + l_f)} \quad [11]$$

$$-F_{Zr}(l_r + l_f) + F_{aer} h_{aer} - m \ddot{x} h + m g l_f = 0 \Rightarrow F_{Zr} = \frac{m(g l_f - \ddot{x} h) + F_{aer} h_{aer}}{(l_r + l_f)} \quad [12]$$

Note le reazioni F_z (forward et rearward) la forza resistente di rotolamento è data da [9] con opportuni valori per f .

Assumiamo inoltre

$$F_{aer} = \frac{1}{2} \rho A_F C_d (v + v_w)^2$$

In campo automobilistico l’area frontale A_F è legata alla massa dalla relazione (rif. 4 pg. 211)

$$A_F = 1.6 + 0.00056(m - 765) \text{ passengers } m \in [800, 2000] \text{ Kg}$$

Per veicoli passeggeri è in genere $C_d = [0.3 , 0.5]$ (rif.4 pg. 212)

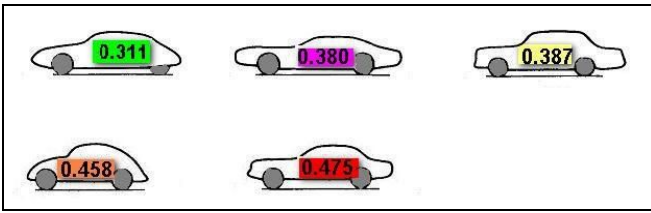


fig.20-a

Il coefficiente di resistenza di un corpo aerodinamico in campo subsonico ($M < 0.6-0.75$) é

$$C_D = C_{D0} + kC_L^2$$

[13]

La stima di C_{D0} é onerosa in termini di tempo e dipende da molteplici fattori.

L'argomento é trattato in modo esteso in *ref. 6 cap.12*.

Per i velivoli valori tipici cadono nell'intervallo $C_{D0} = [0.01, 0.08]$.

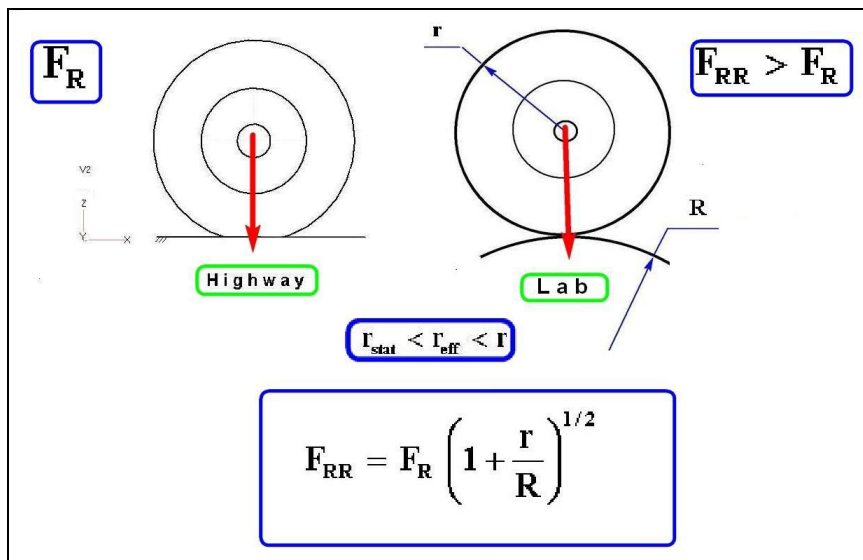


fig 19b

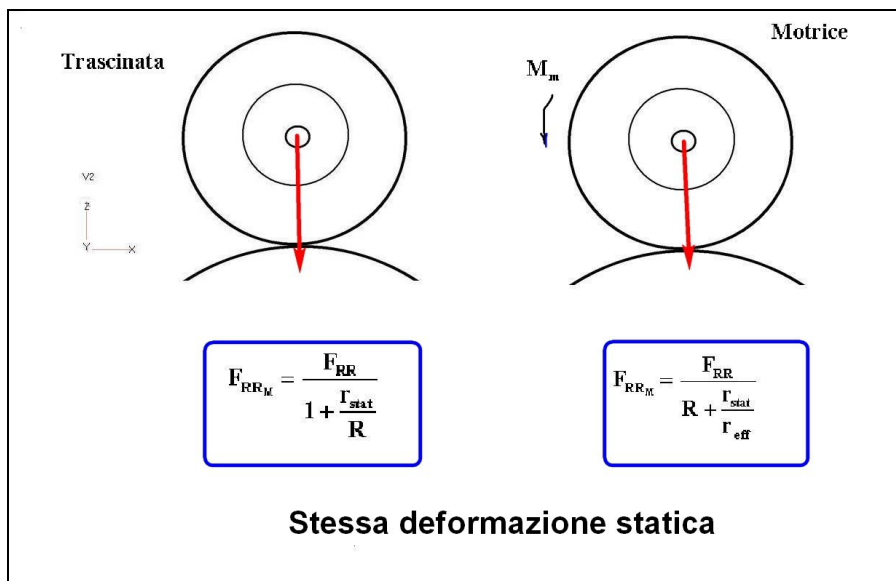


fig.19c

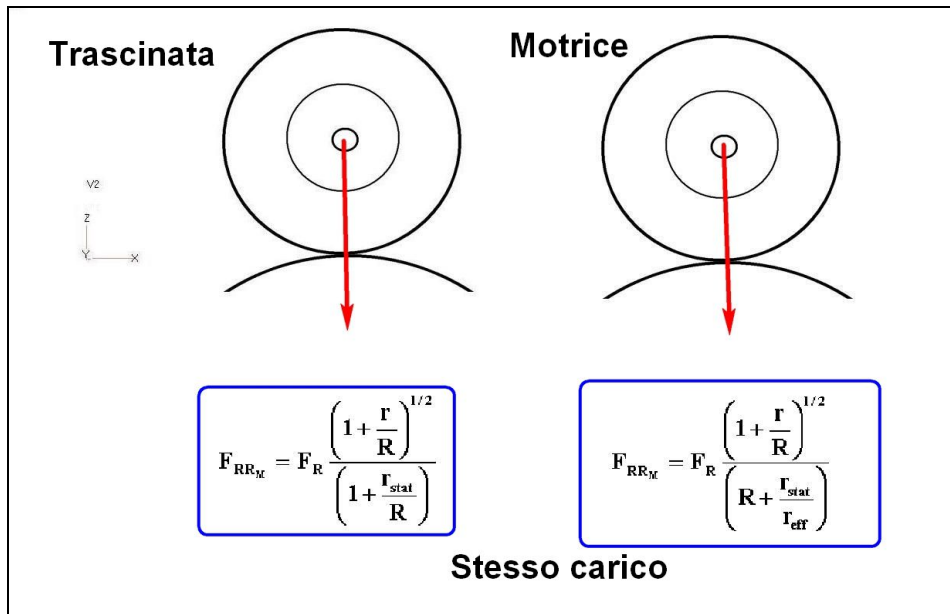


fig.19d

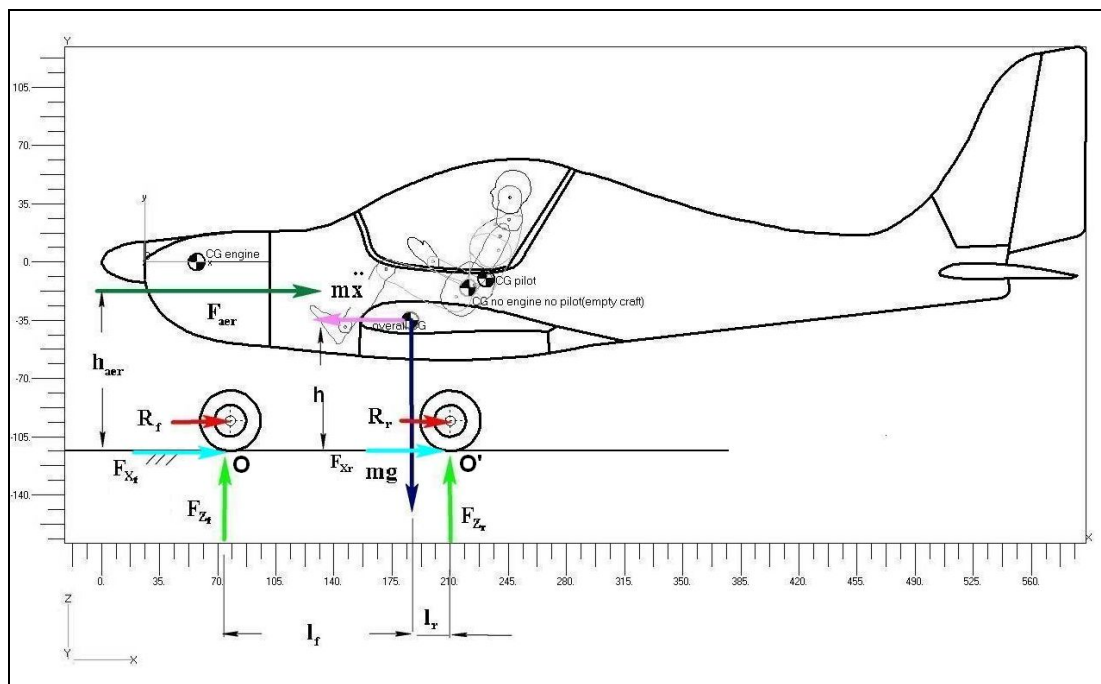


fig.21

Con velivolo fermo da [11] [12] :

$$\ddot{x} = 0, F_{aer} = 0 \Rightarrow F_{ZfSTAT} \approx 593 \text{ N}, F_{ZrSTAT} \approx 1175 \text{ N}$$

Per fissare le idee consideriamo il caso

$$h_{aer} \approx 1 \text{ m}, h = 0.76 \text{ m}, l_f = 1.05 \text{ m}, l_r = 0.265 \text{ m}$$

$$m = 300 \text{ Kg}, C_{D0} = 0.045, A_F = 2.85 \text{ m}^2, \ddot{x} = [1.8, 4.5] \text{ ms}^{-2}$$

$$a_{max} = 4.5 \text{ ms}^{-2} \quad a_{min} = 1.8 \text{ ms}^{-2}$$

Partizioniamo l'intervallo $[a_{\min}, a_{\max}]$

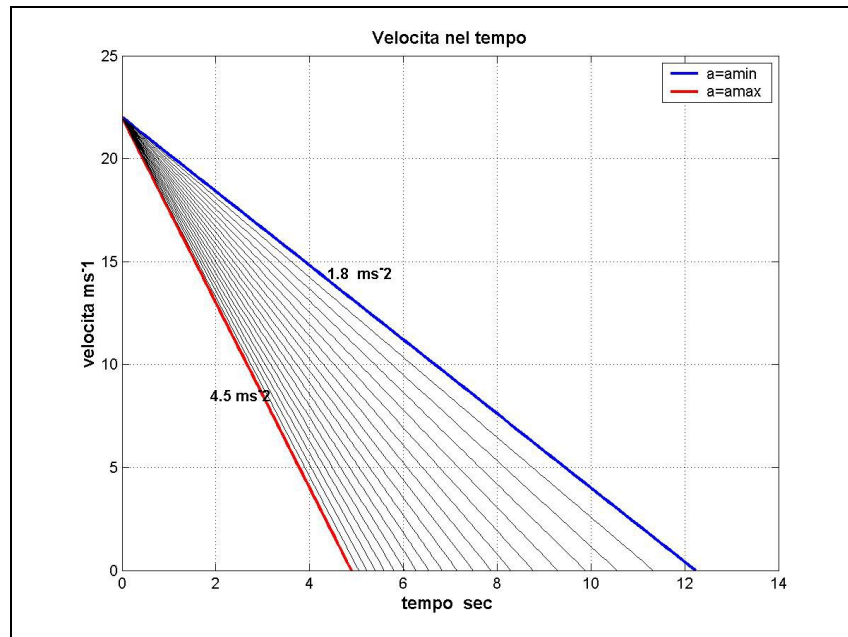


fig.21a

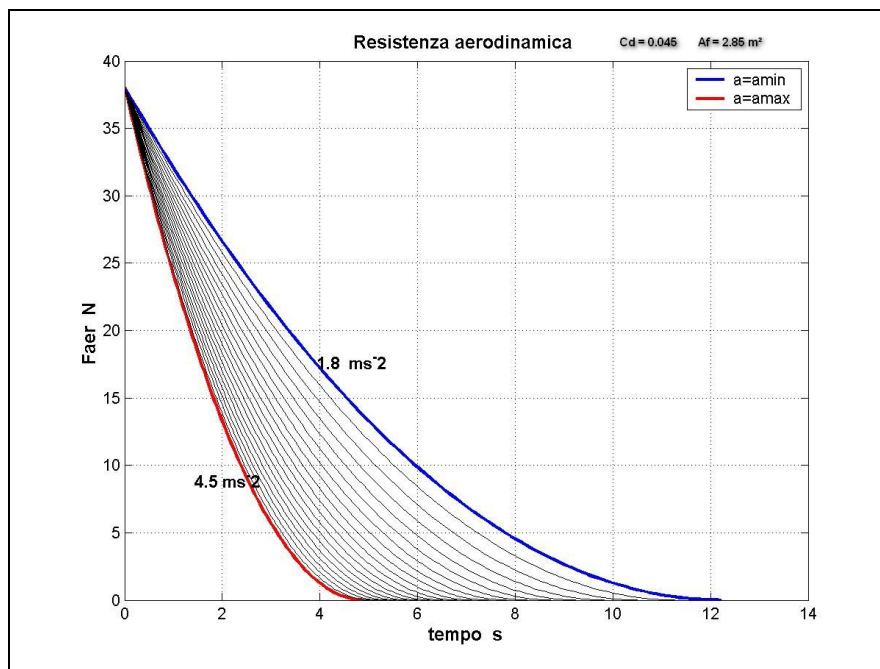


fig.21b resistenza aerodinamica $c_d = 0.045$ costante

In *fig.21-c* *21-d* è plottato l'andamento della forza verticale sulle ruote anteriore e posteriore nel tempo per diversi valori di decelerazione imposti dentro l'intervallo prescelto .

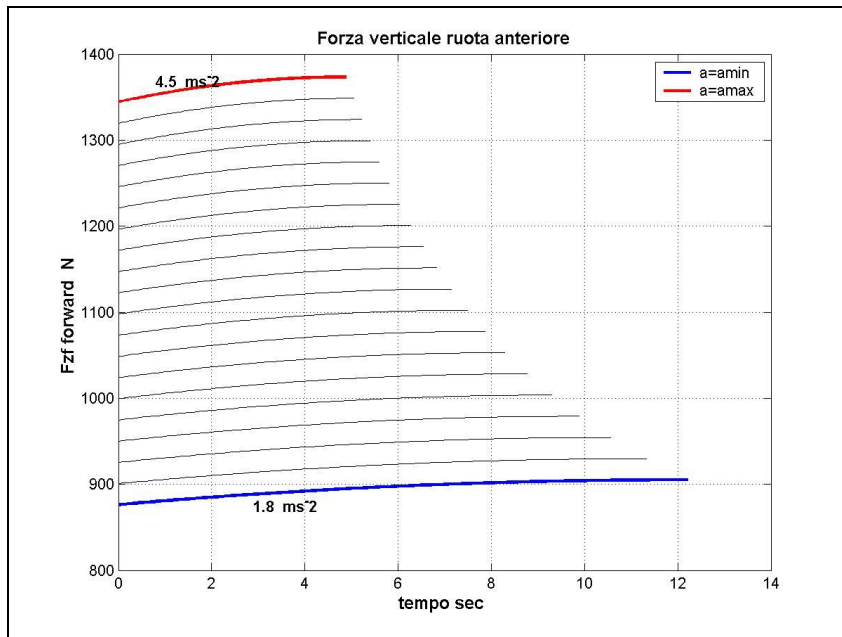


fig.21c

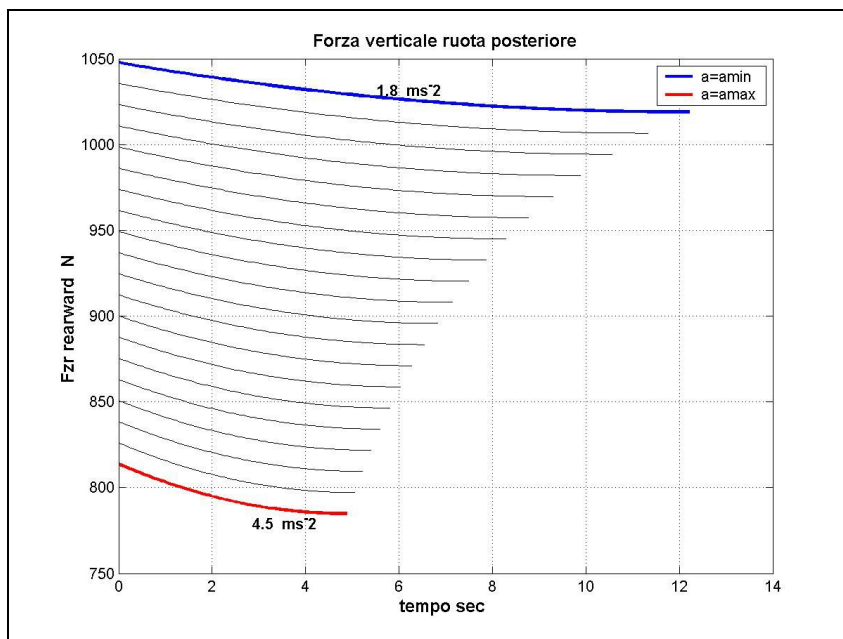


fig.21d

Se ad esempio poniamo

$$v_1 = 22 \text{ ms}^{-1}, a = 3.36 \text{ ms}^{-2}, f = [0.010 \ 0.015 \ 0.020 \ 0.025 \ 0.030 \ 0.035]$$

$$Fz_f = 1166 \text{ N}, Fz_r = 893 \text{ N} \quad E_c(0) = 72600 \text{ J}$$

troviamo che i copertoni hanno dissipato complessivamente con $f = 0.01$ lo 0.45 % mentre con $f = 0.035$ l' 1.025 % dell'energia cinetica iniziale (fig.21h) .

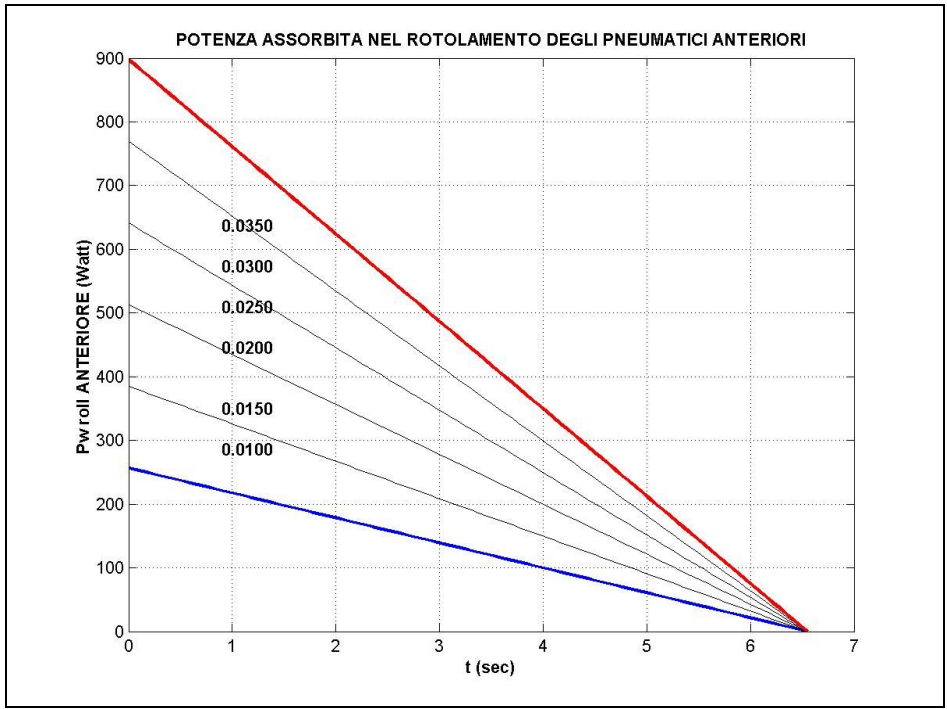


fig.21e

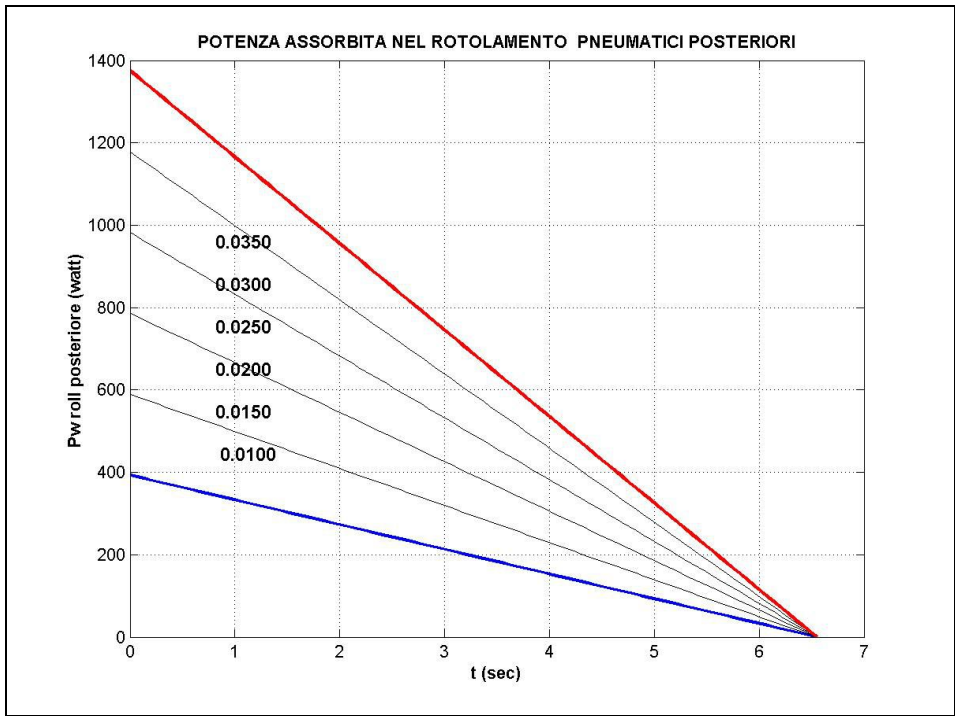


fig.21f

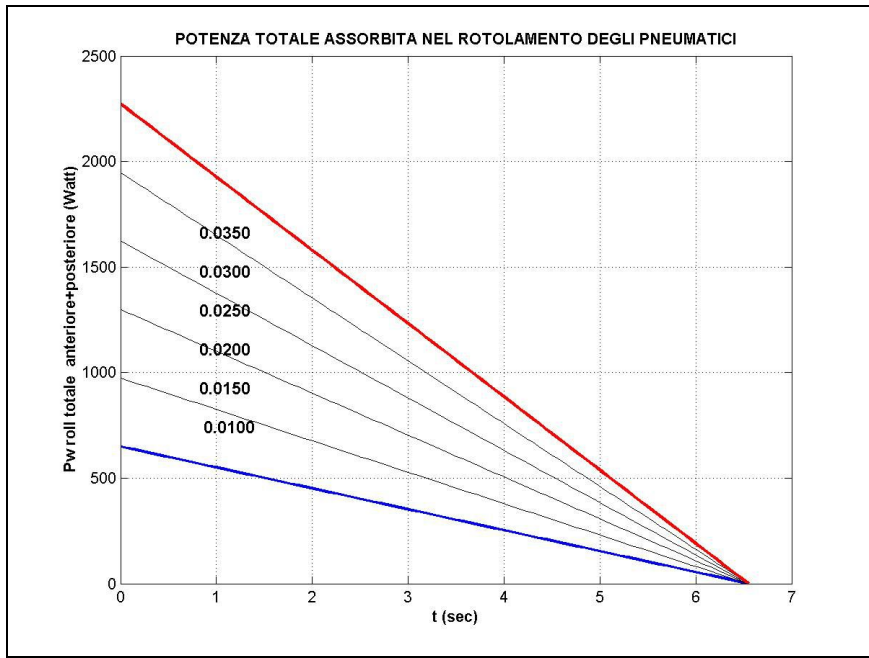


fig.21g

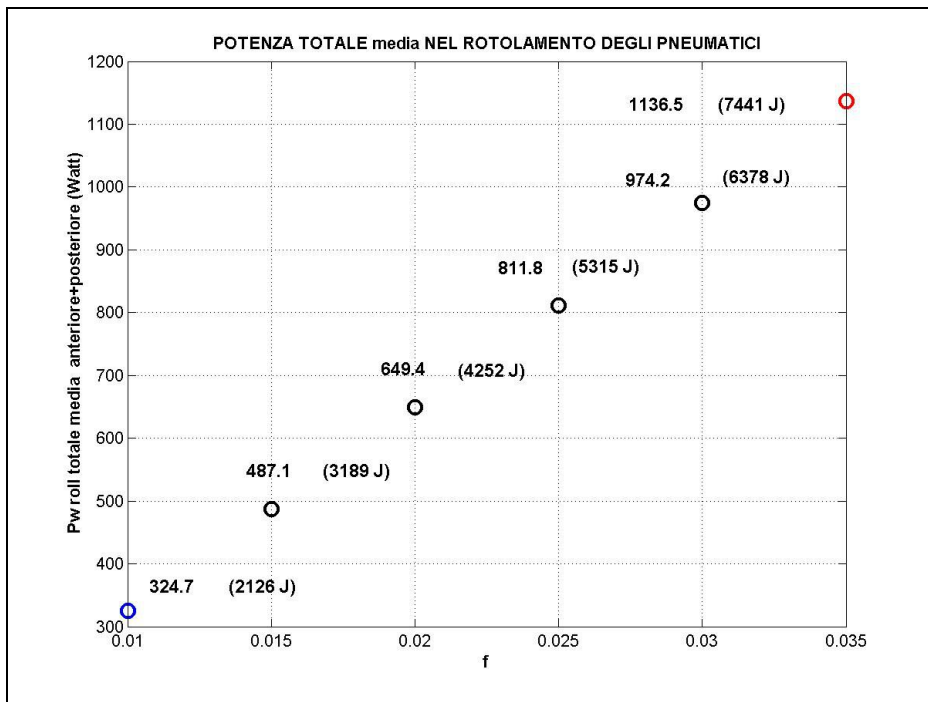


fig.21h

Analisi semplificata di temperatura

Il calore di picco (o medio) sviluppato in frenata si ottiene dividendo [6] o [7] per la porzione di area del disco spazzata dal ferodo .

Il calore generato può alternativamente essere trovato partendo dai dati sul freno :noti il coefficiente di attrito dinamico μ , la forza p per unità di superficie nel contatto ferodo-disco e la velocità relativa V disco -ferodo

$$q(t) = \mu p(t) V(t) \quad [14]$$

$$q(t) = \mu p V(t) \quad [15]$$

$$V(t) = (1 - s) v(t) \frac{r_m}{R} \quad [16]$$

$$q(t) = \frac{\mu p (1 - s) v(t) r_m}{R} \quad [17]$$

In *fig. 31* un generico ferodo :

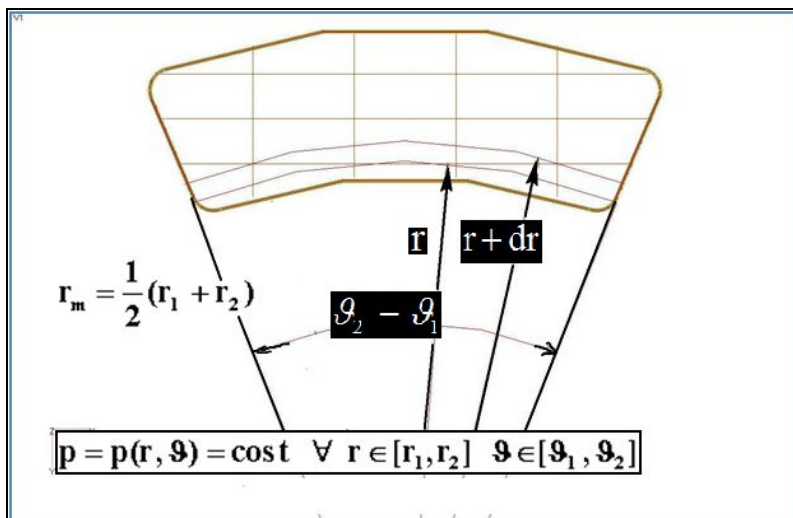


fig. 31

Supponendo valida l'ipotesi che in esercizio sia ad ogni istante

$$p = p(r, \vartheta) = \text{cost} \quad \forall r \in [r_1, r_2] \quad \vartheta \in [\vartheta_1, \vartheta_2] \quad [18]$$

si trova r_m raggio medio (o equivalente) dove collochiamo idealmente la risultante delle forze d'attrito sviluppate nel contatto disco-ferodo :

$$dA_p = (\vartheta_2 - \vartheta_1) r dr$$

$$dF_T = \mu p dA_p = \mu p (\vartheta_2 - \vartheta_1) r dr$$

$$\begin{aligned}
dM_F &= r dF_T = \mu p (\vartheta_2 - \vartheta_1) r^2 dr \\
F_T &= \mu p (\vartheta_2 - \vartheta_1) \int_{r_1}^{r_2} r dr = \mu p (\vartheta_2 - \vartheta_1) \frac{(r_2^2 - r_1^2)}{2} \\
M_F &= \mu p (\vartheta_2 - \vartheta_1) \int_{r_1}^{r_2} r^2 dr = \mu p (\vartheta_2 - \vartheta_1) \frac{(r_2^3 - r_1^3)}{3} \\
F_T r_m &= M_F \Rightarrow r_m = \frac{2}{3} \left[(r_1 + r_2) - \frac{r_1 r_2}{r_1 + r_2} \right]
\end{aligned}
\tag{19}$$

In questo ultimo passaggio si sono usate le fattorizzazioni

$$\begin{aligned}
r_2^3 - r_1^3 &= (r_2 - r_1)(r_1^2 + r_2^2 + r_1 r_2) \\
(r_1^2 + r_2^2 + r_1 r_2) &= (r_1 + r_2)^2 - r_1 r_2
\end{aligned}$$

In *rif. 2 pg.7* si trova :

$$r_m = \frac{1}{2} (r_1 + r_2)
\tag{20}$$

Ne caso di *fig. 31* $r_1 = 77 \text{ mm}$ $r_2 = 95 \text{ mm}$:

$$r_m = 86.313 \text{ mm} \quad ([19])$$

$$r_m = 86 \text{ mm} \quad ([20])$$

Per il ferodo **16** si ha $r_1 = 32.5 \text{ mm}$ $r_2 = 55 \text{ mm}$:

$$r_m = 43.5 \text{ mm} \quad ([20])$$

$$\frac{r_m}{R} = \frac{43.5}{200} = 0.2175$$

$$\mu \approx 0.45$$

Partendo dalla geometria del freno (*fig. 31-I*) deve essere

$$p = p_f \frac{A_{in}}{A_{out}} = p_f \frac{16.5}{60} = 0.275 p_f
\tag{21}$$

Per fissare le idee supponiamo $s=0.08$, $m=300 \text{ Kg}$, $k=1$, $t_f=6.5 \text{ s}$, $v(0)=20 \text{ ms}^{-1}$ ($a \sim 3 \text{ ms}^{-2}$) .

Per la singola ruota frenante da [6] :

$$P_w(0) = \frac{km(1-s)v(0)a}{2} = 8280 \text{ W}
\tag{21-a}$$

$$P_{W_{med}} = \frac{P_w(0)}{2} = 4140 \text{ W}$$

$$q(0) = \frac{8280}{0.006} \left(\frac{\text{W}}{\text{m}^2} \right) = 1.38 \cdot 10^6 \left(\frac{\text{W}}{\text{m}^2} \right)$$

$$q_{med} = \frac{q(0)}{2} = 6.9 \cdot 10^5 \left(\frac{\text{W}}{\text{m}^2} \right)$$

Confrontando [7] e [17] troviamo

$$q = \mu p (1-s) v \frac{r_m}{R} = \frac{P_w}{A_f} = \frac{k m (1-s) v a}{2 A_f} \quad [21-b]$$

$$p = \frac{k m a R}{2 \mu A_f r_m} = 1.2121 \cdot 10^5 \text{ Pa} \approx 1.236 \frac{\text{Kg}}{\text{cm}^2}$$

Usando [21] troviamo la pressione del fluido uscente dalla valvola **21** :

$$p_f = 3.636 p \approx 4.5 \frac{\text{Kg}}{\text{cm}^2}$$

L'area del pistone di una tipica pompa idraulica per impiego su ULM è circa **3.87 cm²** .

Il pilota dovrà applicare allo stelo del pistone una forza assiale di circa **17.4 Kg_f** .

Grazie al rapporto di leva o “pedal ratio”(PR) la forza effettiva richiesta al pilota in frenata scende a metà (ed anche oltre) del valore calcolato *fig. 31a- 31b* .

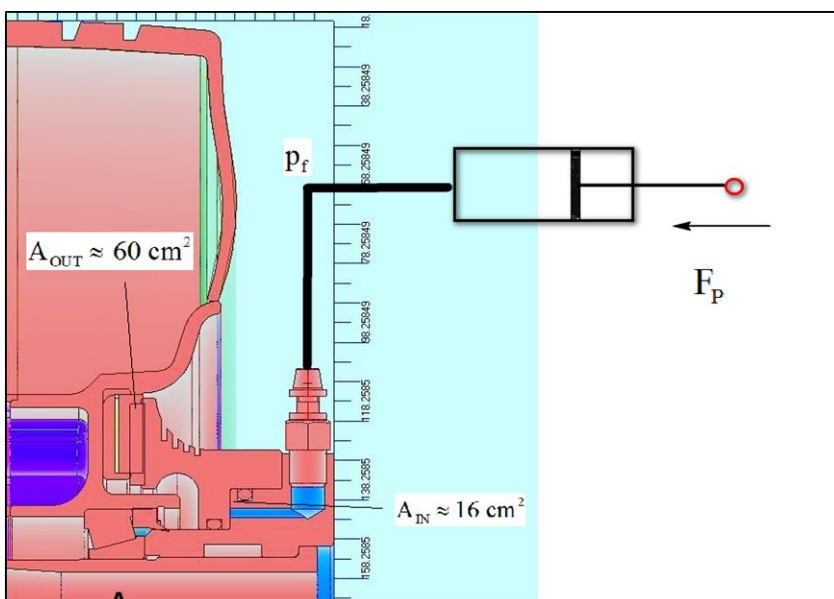


fig. 31-I

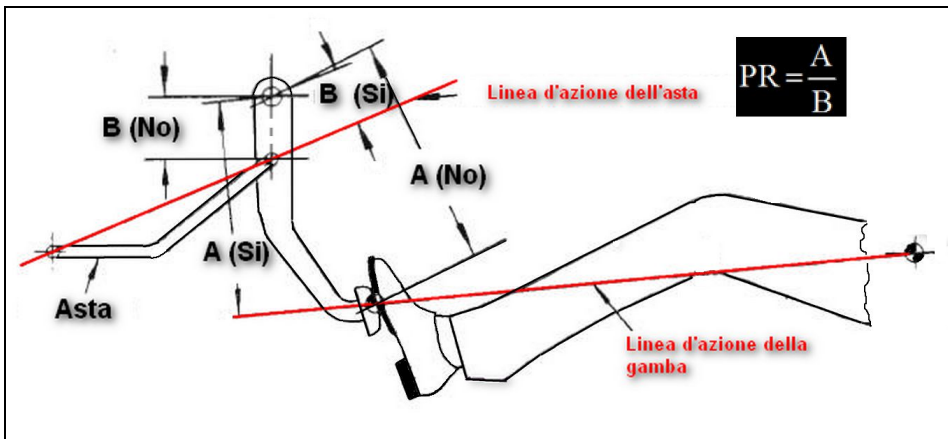


fig.31a

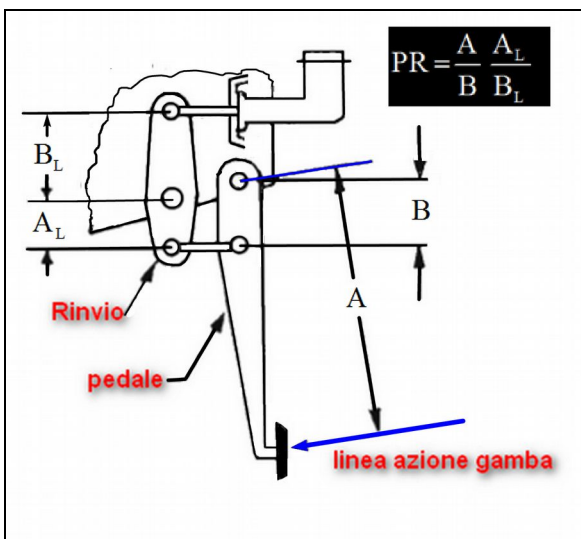


fig.31b

Il calore che si genera sull'interfaccia rotore-ferodo è tra questi ripartito (rif. 1 pg.117-118)

in proporzione inversa alle loro resistenze termiche :

$$\frac{q_R}{q_F} = \frac{R_F}{R_R} \quad [22]$$

Il bilancio della quantità di calore all'istante iniziale è :

$$q_T(0) = q_R(0) + q_F(0)$$

Nel caso di frenata singola e di breve durata la [22] assume la forma semplificata

$$\frac{q_R}{q_F} = \left[\frac{(\rho ck)_R}{(\rho ck)_F} \right]^{1/2} \quad [23]$$

La frazione di calore assorbita dal rotore è :

$$\gamma = \frac{q_R}{q_R + q_F} = \frac{1}{1 + \left[\frac{(\rho c k)_F}{(\rho c k)_R} \right]^{1/2}} \quad [24]$$

Per frenate ripetute o per frenata prolungata la [24] assume una forma assai più complessa a causa di fenomeni convettivi determinati dalle maggiori temperature .

Si traslascia questo aspetto rimandando a *rif.1 cap.3* per approfondimenti .

Con i dati di *tab.4* si trova

$$\gamma \approx 0.8514$$

Per la singola ruota frenante é

$$q_R(0) = \gamma q_T(0) \stackrel{[21-a]}{=} \frac{\gamma k (1-s) m v(0) a}{2 A_F} \approx 1.175 \cdot 10^6 \left(\frac{W}{m^2} \right) \quad [24-a]$$

$$a \stackrel{[21-b]}{=} \frac{2 \mu A_F p r_m}{k m R} \quad [24-b]$$

La decelerazione del velivolo con due ruote frenanti è

$$a = \left(\frac{4 \mu r_m}{k m R} \right) F = \left(\frac{4 \mu r_m}{k m R} \right) A_m p_f$$

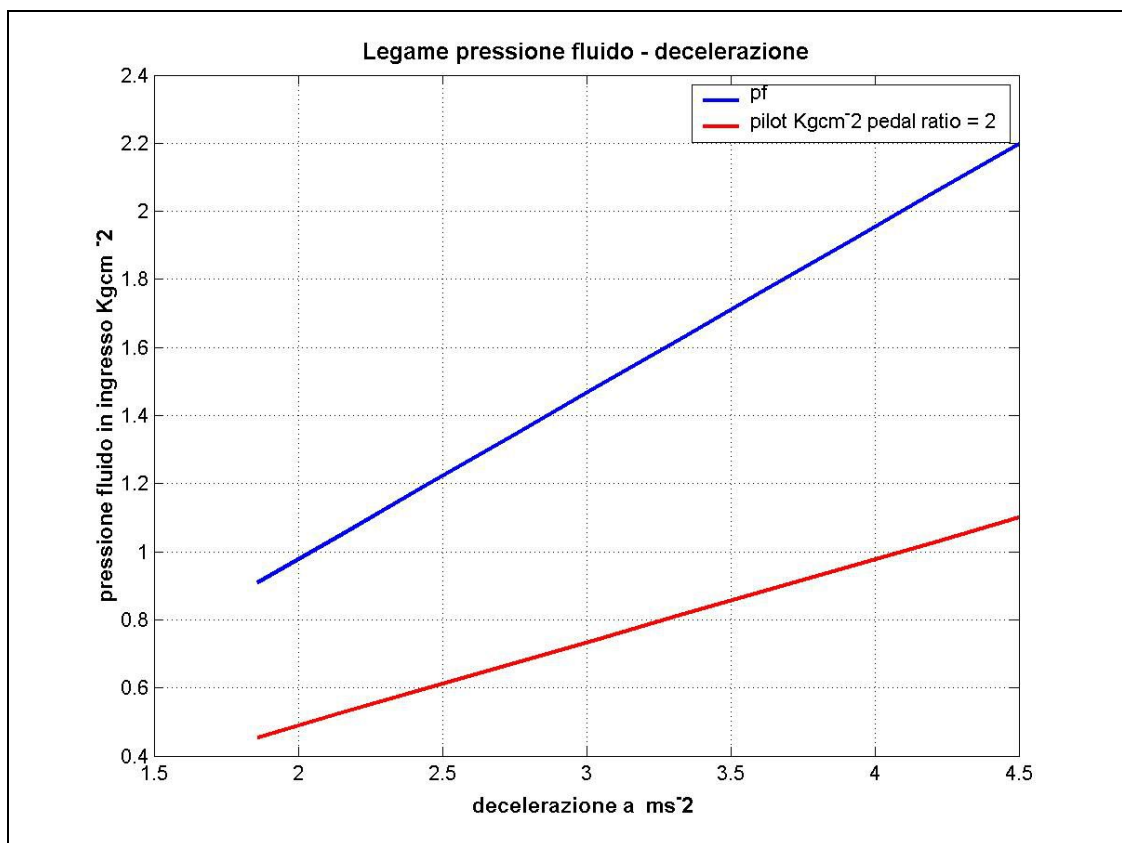


fig.32

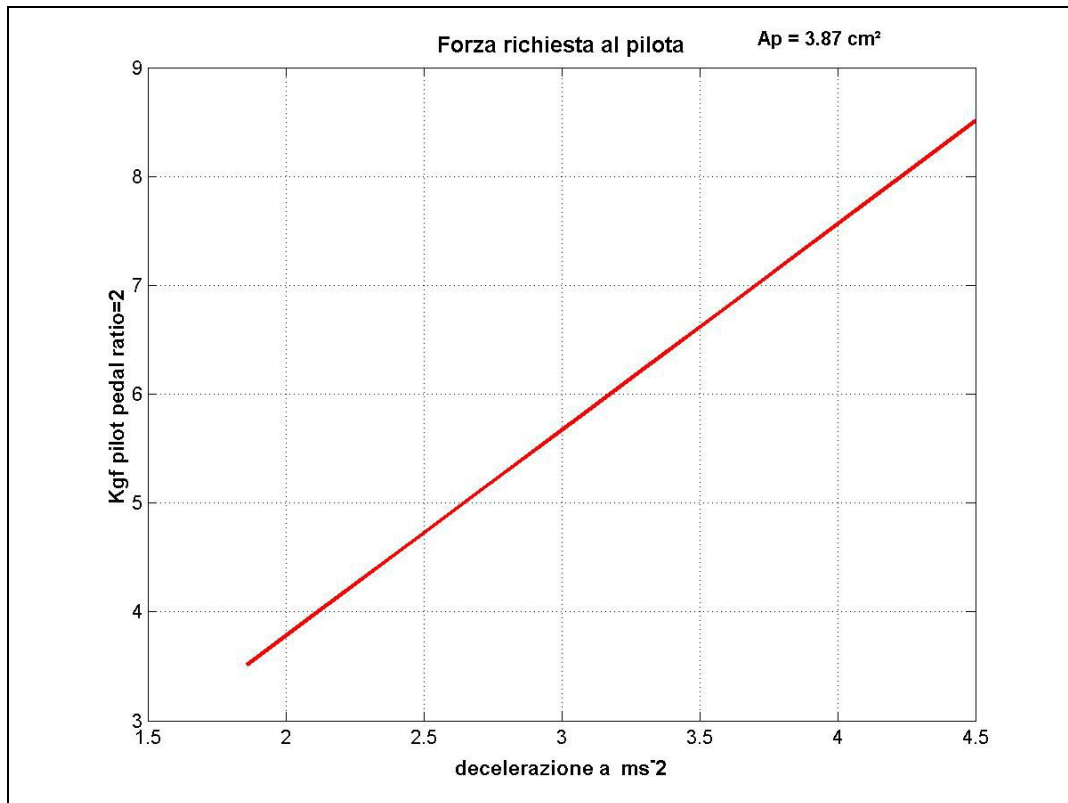


fig.33

Nel caso di frenata con potenza linearmente decrescente nel tempo ([3]) si assume (rif.1pg 120-122) che la temperatura sulla superficie del disco vari nel tempo secondo la legge (fig.34) .

$$\begin{aligned}
 T(t) &= T_i + \left(\frac{5}{4}\right)^{1/2} \left(\frac{k}{\rho c}\right)_R^{1/2} \left(\frac{1}{k}\right)_R q_R(0) t^{1/2} \left(1 - \frac{2t}{3t_f}\right) \\
 &= T_i + \left(\frac{5}{4}\right)^{1/2} \frac{q_R(0)}{(\rho c k)_R^{1/2}} t^{1/2} \left(1 - \frac{2t}{3t_f}\right)
 \end{aligned}
 \tag{25}$$

Si trova che la temperatura massima è raggiunta a metà del tempo di frenata :

$$\frac{d}{dt} T(t) = 0 \Rightarrow T_{\max} = T_i + \left(\frac{5}{18}\right)^{1/2} \frac{q_R(0)t_s^{1/2}}{(\rho c k)_R^{1/2}}
 \tag{26}$$

Si introduce il parametro fisico a_D diffusività termica così definito

$$a_D = \frac{k}{\rho c}$$

e che indica la velocità con cui il flusso di calore attraversa la sezione unitaria di un corpo .

Nel caso di rotori per freni a disco gli sperimentatori hanno determinato il tempo t_P impiegato dal calore per penetrare uno spessore L :

$$t_p = \frac{L^2}{5 a_D}$$

[27]

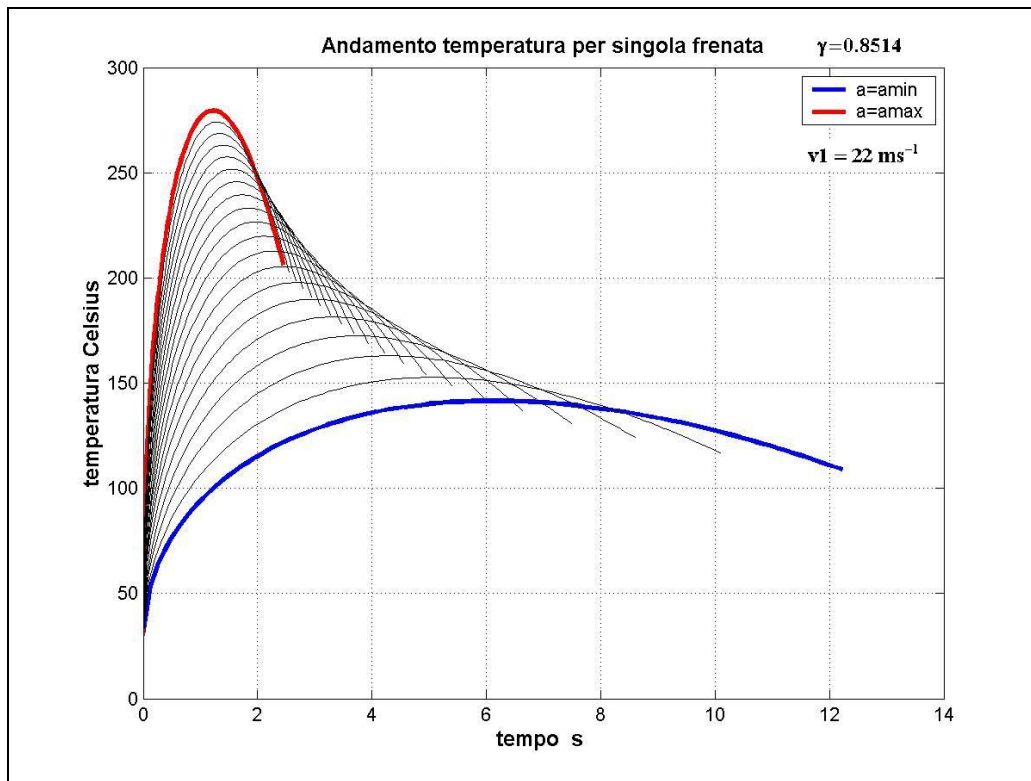


fig.34

	ferodo	ferodo SF	disco
ρ (Kgm ⁻³)	2600	1250	7228
c (J/KgK)	1465		419
k (W/mK)	1.21	0.25	50
a (m ² /s)	3.17 e-7		1.63 e-5

tab.4

L'analisi completa di temperatura è assai più complessa : coinvolge assieme alla conduzione anche convezione- irraggiamento e la circostanza che la frenata sia ripetuta ad intervalli diversi di tempo .

Pur costituendo uno strumento di verifica non può mai sostituirsi alle prove di banco .

Le formule qui usate valgono solo per le ipotesi semplificate di singola frenata .

Script Matlab®

% SCRIPT 01

```
function[v,Faer,Fzf,Fzr,Fzfmed,Fzrmed,t]=frenata(m,v1,a,Af,Cd,lr,lf,h,haer)
```

```
% INPUT : VEDERE fig.21
```

```
% m massa velivolo in Kg
```

```
% v1 velocita iniziale
```

```
% a decelerazione è un linspace (es. a=linspace(1.8,4.5,20) )
```

```
% Af area frontale velivolo es. 2.85 m2
```

```
% Cd coeff. resistenza aerodinamica es 0.045
```

```
% lr ,lf , h , haer tutti scalari vedere fig.21
```

```
% OUTPUT
```

```
% v possibili velocita' nei tempi t per ogni decelerazione assegnata
```

```
% Faer valore della forza aerodinamica nei tempi t - fissato Cd
```

```
% Fzf Fzr forza verticale sulle ruote anteriore e posteriore
```

```
% nel tempo al variare della decelerazione imposta
```

```
% Fzfmed Fzrmed valori medi di Fzf ed Fzr
```

```
% tanti tempi di frenata quante sono le decelerazioni ;
```

```
tf=(v1*ones(1,length(a)))./a ;
```

```
% tanti t (linspace) quanti sono i tempi di frenata
```

```
for k=1:length(a),
```

```
    t(k,:)=linspace(0,tf(k));
```

```
end
```

```
% troviamo
```

```
% tanti andamenti di velocita' nei tempi t
```

```
% tanti corrispondenti valori di Faer nei tempi t (Cd=cost )
```

```
for k1=1:length(a),
```

```
    v(k1,:)=v1*ones(1,100)-a(1,k1)*t(k1,:);
```

```
    Faer(k1,:)=0.5*1.225*Af*Cd*(v(k1,:).^2);
```

```
end
```

```
figure(1) % plotta la velocita' nel tempo al variare della decelerazione
```

```
plot(t(1,:),v(1,:))
```

```
grid
```

```
hold
```

```

plot(t(length(a,:),:),v(length(a,:),:),'r')

xlabel('tempo sec ')
ylabel('velocita ms^-1');
legend('a=amin ','a=amax')
title('Velocita nel tempo')

for k2=2:length(a)-1
    plot(t(k2,:),v(k2,:),'k')
end

%%%%%%%%

figure(2)    % plotta la Faer nel tempo al variare della decelerazione
             % fissato il coefficiente di resistenza aerodinamica (Cd=cost)
plot(t(1,:),Faer(1,:))
grid
hold

plot(t(length(a,:),:),Faer(length(a,:),:),'r')

xlabel('tempo s')
ylabel('Faer N ')
title('Resistenza aerodinamica nel tempo ')
legend('a=amin ','a=amax')

for k3=2:length(a)-1
    plot(t(k3,:),Faer(k3,:),'k')
end

%%%%%%%%% CALCOLO REAZIONI VERTICALI ANTERIORE E POSTERIORE

g=9.81;    % accelerazione di gravita' ms^-2

for k4=1:length(a)

Fzf(k4,:)=(m*(g*lr*ones(1,100)+a(k4)*h*ones(1,100))-Faer(k4,)*haer)/(lr+lf);

Fzr(k4,:)=(m*0.5*(-a(k4)*h*ones(1,100)+g*lf*(ones(1,100)))+Faer(k4,)*haer)/(lr+lf);

Fzfm(k4)=mean(Fzf(k4,:));

Fzrm(k4)=mean(Fzr(k4,:));

end

    % 0.5 per Fzr perché ci sono 2 ruote posteriori

figure(3)    % plotta la forza verticale nel tempo sulla ruota anteriore
plot(t(1,:),Fzf(1,:))
grid
hold

```

```
plot(t(length(a,:),:),Fzf(length(a,:),:),'r')
xlabel('tempo sec ')
ylabel('Fzf forward N ')
title('Forza verticale ruota anteriore')
legend('a=amin ','a=amax')
```

```
for k5=2:length(a)-1
    plot(t(k5,:),Fzf(k5,:),'k')
end
```

```
figure(4) % plotta la forza verticale nel tempo sulla ruota posteriore
plot(t(1,:),Fzr(1,:))
grid
hold
```

```
plot(t(length(a,:),:),Fzr(length(a,:),:),'r')
xlabel('tempo sec ')
ylabel('Fzr rearward N ')
title('Forza verticale ruota posteriore')
legend('a=amin ','a=amax')
```

```
for k6=2:length(a)-1
    plot(t(k6,:),Fzr(k6,:),'k')
end
```

%SCRIPT 02

%Plotta la potenza assorbita nel rotolamento dagli pneumatici al variare di f coeff. of roll resistance

```
function[P,A,T,Tmed]=PWROLL01(FZr,FZf,f,v1,a)
```

```
% INPUT
```

```
% FZr,FZf vedi fig.21
```

```
% f è un linspace di roll resistance (non troppi elementi)
```

```
% es. f=linspace(0.01,0.035,5);
```

```
% a decelerazione scalare assegnata dalle norme es 3 (m/s^2)
```

```
% v1 velocità iniziale (ES. 20 m/s )
```

```
v(1)=v1
```

```
tf=v1/a %tempo di frenata per quel dato valore di a
```

```
t=linspace(0,tf);
```

```
d=ones(1,length(t)); % vettore "ausiliario"
```

```
i=1:length(t);
```

```
pwrollpos(1,:)=FZr*2*f(1)*(v(1)*d-a*t); % 2 pneumatici posteriori
```

```
figure(1) % POTENZA PNEUMATICI POSTERIORI
```

```
plot(t,pwrollpos(1,:),'b')
```

```
grid
```

```
hold
```

```
xlabel(' t (sec) ');
```

```
ylabel('Pw roll posteriore (watt) ');
```

```
title('POTENZA ASSORBITA NEL ROTOLAMENTO DAGLI PNEUMATICI POSTERIORI');
```

```
for k=2:1:length(f),
```

```
    pwrollpos(k,:)=FZr*2*f(k)*(v(1)*d-a*t);% 2 pneumatici posteriori
```

```
    plot(t,pwrollpos(k,:),'k');
```

```
end
```

```
figure(2) % POTENZA PNEUMATICO ANTERIORE
```

```
pwrollant(1,:)=FZf*f(1)*(v(1)*d-a*t); % 1 pneumatico anteriore
```

```
plot(t,pwrollant(1,:),'b');
```

```
grid
```

```
hold
```

```
xlabel(' t (sec) ');
```

```
ylabel('Pw roll ANTERIORE (Watt) ');
```

```
title('POTENZA ASSORBITA NEL ROTOLAMENTO DAGLI PNEUMATICI ANTERIORI');
```

```
for k1=2:1:length(f),
```

```
    pwrollant(k1,:)=FZf*f(k1)*(v(1)*d-a*t);
```

```
    plot(t,pwrollant(k1,:),'k');
```

```
end
```

```
figure(3) % POTENZA TOTALE POSTERIORE+ANTERIORE
```

```
pwrolltot(1,:)=pwrollpos(1,:)+pwrollant(1,:) ;
```

```
plot(t,pwrolltot(1,:), 'b');
```

```
grid
```

```
hold
```

```
for k2=2:1:length(f),
```

```
    pwrolltot(k2,:)=pwrollpos(k2,:)+pwrollant(k2,:) ;
```

```
    plot(t,pwrolltot(k2,:), 'k');
```

```
end
```

```
xlabel(' t (sec) ');
```

```
ylabel('Pw roll totale anteriore+posteriore (Watt) ');
```

```
title('POTENZA TOTALE ASSORBITA NEL ROTOLAMENTO DEGLI PNEUMATICI' );
```

```
figure(4) % POTENZA TOTALE MEDIA
```

```
pwrolltotmed(1)=max(pwrolltot(1,:))*0.5 ;
```

```
plot(f(1),pwrolltotmed(1), 'ob')
```

```
grid
```

```
hold
```

```
xlabel(' f ');
```

```
ylabel('Pw roll totale media anteriore+posteriore (Watt) ');
```

```
title('POTENZA TOTALE media NEL ROTOLAMENTO DEGLI PNEUMATICI' );
```

```
for k3=2:1:length(f),
```

```
    pwrolltotmed(k3)=max(pwrolltot(k3,:))*0.5 ;
```

```
    plot(f(k3),pwrolltotmed(k3), 'ok');
```

```
end
```

```
Tmed=pwrolltotmed(1,:)
```

```
T(:,:)=pwrolltot(:,:)
```

```
A=pwrollant(:,:)
```

```
P(:,:)=pwrollpos(:,:)
```

% SCRIPT 03

% Questo script trova la temperatura massima che si realizza sull'interfaccia
% disco-ferodo in una singola frenata .
% Plotta la temperatura nel tempo durante la frenata al variare della decelerazione imposta

```
function[T,Tmax]=temperatura(m,k,s,v1,a,Ti,gamma,Afer)
```

% INPUT

% v1 velocita' iniziale
% a decelerazioni... è un linspace
% Ti temperatura iniziale in Celsius
% tf tempo di frenata = tempo di arresto = v1/a
% gamma parametro che ci informa come il calore che si sviluppa
% sull'interfaccia disco-ferodo sia tra questi ripartito
% m massa velivolo in Kg
% k fattore correttivo masse rotanti
% rm raggio medio o equivalente
% R raggio pneumatico indeformato
% s coeff.slip ratio
% Afer area spazzata dal ferodo

% OUTPUT

% T temperatura nel tempo
% Tmax temperatura massima in frenata

```
tf=(v1*ones(1,length(a)))./a ;
```

```
for k1=1:length(a),  
    t(k1,:)=linspace(0,tf(k1));  
end
```

```
for k2=1:length(a),  
    v(k2,:)=v1*ones(1,100)-a(1,k2)*t(k2,:);  
end
```

% un valore di potenza max (per unita' di superficie)assorbita dal rotore-disco
% per ogni valore di decelerazione

```
for k3=1:length(a) ,  
    qr0(k3)=(0.5*gamma*k*(1-s)*m*v1*a(1,k3))/Afer ;  
end
```

```
figure(1)  
plot(a,qr0)  
grid  
xlabel('accelerazione ms^-2')  
ylabel('qr(0) Wm^-2 Rotore')  
title('Wm^-2 per il rotore ')
```

```

for k4=1:length(a) ,
T(k4,:)=Ti*ones(1,100)+(8.1264e-005)*qr0(k4)*(t(k4,:).^0.5).*(ones(1,100)-
0.6667*(t(k4,:)/tf(k4)));
%Tmax(k4)=Ti*ones(1,length(a))+0.5270*8.1264e-005*tf(k4)*ones(1,length(a))
end

figure(2)
plot(t(1,:),T(1,:))
grid
hold
plot(t(length(a),:),T(length(a),:),'r')

legend('a=amin','a=amax')

for k5=2:length(a)-1
    plot(t(k5,:),T(k5,:),'k')
end

xlabel('tempo s ')
ylabel('temperatura Celsius')
title('Andamento temperatura per singola frenata')

```

LISTA SIMBOLI

a	accelerazione	[ms⁻²]
$a_d = \frac{k}{\rho c}$	diffusività termica	[m²s⁻¹]
A_f, A_{out}	areaferodo	[m²]
A_F	area frontale veicolo	[m²]
b	larghezza pneumatico	[m]
c	calore specifico	$\left[\frac{W}{m K} \right]$
C_D	coefficiente resistenza	
d	semilunghezza zona contatto	[m]
E_c	energia cinetica	[J]
f	coefficiente di roll resistance	
F_T	forza tangenziale	[N]
I	inerzia rotazionale	[Kg m²]
k	fattore riduzione per masse rotanti	
m	massa	[Kg]
μ	coeff. attrito dinamico	
p, p_f	pressione	[Nm⁻²]
P_w	potenza	[W]
q		[W / m²]
R	raggio pneumatico	[m]
ρ	densità	[Kg m⁻³]
r_{stat}	raggio schiacciamento statico	[m]
r_{eff}	raggio effettivo rotolamento	[m]
r_m	raggio medio o equivalente	[m]
s	slip ratio	
t, t_s, t_f	tempo di arresto	[s]
T	temperatura	[K]
v	velocità asseruota	[ms⁻¹]
V	velocità relativa disco – ferodo	[ms⁻¹]

Indice figure generate

- [a] da fotocamera
- [b] da ambienti Femap® , Solidwoks® ,Autocad 2000®
- [c] Paint Microsoft® , FastStone®
- [d] grafici da routines in ambiente Matlab®

3a,10,11,12,13,18b [a]

1,2,3,4,5,6,7,8,9,14,15,16,17,21,31 [b]

16a-b,18a,19,19b-c-d,20,20a,31a-b [c]

17a,19a,21a-b-c-d-e-f-g-h,32,33,34 [d]

Tutte le formule sono state generate con il programma TEXaid® v.4a .

Bibliografia

- [1] **Limpert R.** 'Brake design and safety', 2nd ed. 1999 SAE .
- [2] **Limpert, R.**, 'An Investigation of Thermal Conditions Leading to Surface Rupture of Cast Iron Rotors', SAE Technical Paper Series: 720447, 1972
- [3] **Metzler, H.**, 'The Brake Rotor -Friction Partner of Brake Linings', SAE Technical Paper Series: 900847, 1990
- [4] **J.Y. Wong** , 'Theory of ground vehicles', 3rd ed. 2001 , John Wiley & Sons
- [5] **R.Rajamani** 'Vehicle dynamics and control', 2nd ed. 2012 Springer
- [6] **Raymer D. P.** , 'Aircraft Design: A Conceptual Approach', AIAA, 2006
- [9] **CS-ETSO C26c** , EASA 2003
- [10] **S.K.Clark** and **R.N.Dodge** 'Measurement method and data reduction in rolling loss measurements .An handbook for the rolling resistance of pneumatic tires', Industrial development division , Michigan 1979 .
- [10-a] **S.K.Clark** 'Rolling resistance forces in pneumatic tires' 1976 DOT-TSC-76-1
- [11] **G.Minelli** 'Misure meccaniche' , 1991 , Pàtron ed. Bologna